

(19)日本国特許庁(JP)

(12)特許公報(B2)

(11)特許番号  
特許第7682108号  
(P7682108)

(45)発行日 令和7年5月23日(2025.5.23)

(24)登録日 令和7年5月15日(2025.5.15)

(51)国際特許分類	F I
H 0 4 N 19/129 (2014.01)	H 0 4 N 19/129
H 0 4 N 19/13 (2014.01)	H 0 4 N 19/13
H 0 4 N 19/18 (2014.01)	H 0 4 N 19/18
H 0 4 N 19/64 (2014.01)	H 0 4 N 19/64
H 0 4 N 19/70 (2014.01)	H 0 4 N 19/70

請求項の数 6 (全43頁)

(21)出願番号	特願2021-571049(P2021-571049)	(73)特許権者	511050697
(86)(22)出願日	令和2年5月12日(2020.5.12)		アリババ グループ ホウルディング リ
(65)公表番号	特表2022-538968(P2022-538968		ミテッド
	A)		英国領ケイマン諸島 グランド ケイマン
(43)公表日	令和4年9月7日(2022.9.7)		ジョージ タウン ピーオーボックス 8
(86)国際出願番号	PCT/US2020/032460		47 ワン キャピタル プレイス フォー
(87)国際公開番号	WO2020/263442		ス フロア
(87)国際公開日	令和2年12月30日(2020.12.30)	(74)代理人	100079108
審査請求日	令和5年4月28日(2023.4.28)		弁理士 稲葉 良幸
(31)優先権主張番号	62/865,916	(74)代理人	100109346
(32)優先日	令和1年6月24日(2019.6.24)		弁理士 大貫 敏史
(33)優先権主張国・地域又は機関	米国(US)	(74)代理人	100117189
			弁理士 江口 昭彦
(31)優先権主張番号	62/953,460	(74)代理人	100134120
(32)優先日	令和1年12月24日(2019.12.24)		弁理士 内藤 和彦
	最終頁に続く		最終頁に続く

(54)【発明の名称】 ビデオデータの変換スキップ残差符号化

(57)【特許請求の範囲】

【請求項1】

ビデオデータのデコーダによって実施される復号方法であって、  
ビデオフレームのサブブロックの複数の変換係数をスキャンする第1のパスを実行することを含み、

前記スキャンする第1のパスが、

コンテキスト符号化されたピンの残りの数が4以上であるか否かを決定することと、  
前記コンテキスト符号化されたピンの残りの数が4以上であることに応じて、

対象の変換係数の `sig__coeff__flag` を復号することであって、前記 `sig__coeff__flag` は、対象の前記変換係数のレベルがゼロであるか否かを示すこと、及び

10

対象の前記変換係数の前記レベルがゼロではないことに応じて、対象の前記変換係数の `coeff__sign__flag` 及び `abs__level__gt_x__flag[0]` を復号することであって、前記 `coeff__sign__flag` は、対象の前記変換係数の前記レベルの符号を表し、前記 `abs__level__gt_x__flag[0]` は、対象の前記変換係数の前記レベルの絶対値が1より大であることを表すこと

を実行することと、を含む、復号方法。

【請求項2】

前記コンテキスト符号化されたピンの残りの数が4未満であることに応じて、前記スキャンする第1のパスを終了することを更に含む、請求項1に記載の復号方法。

20

## 【請求項 3】

ビデオデータのエンコーダによって実施される符号化方法であって、  
ビデオフレームのサブブロックの複数の変換係数をスキャンする第1のパスを実行することを含み、

前記スキャンする第1のパスが、

コンテキスト符号化されたピンの残りの数が4以上であるか否かを決定することと、

前記コンテキスト符号化されたピンの残りの数が4以上であることに応じて、

対象の変換係数の `sig__coeff__flag` を符号化することであって、前記 `sig__coeff__flag` は、対象の前記変換係数のレベルがゼロであるか否かを示すこと、及び

対象の前記変換係数の前記レベルがゼロではないことに応じて、対象の前記変換係数の `coeff__sign__flag` 及び `abs__level__gtx__flag [ 0 ]` を符号化することであって、前記 `coeff__sign__flag` は、対象の前記変換係数の前記レベルの符号を表し、前記 `abs__level__gtx__flag [ 0 ]` は、対象の前記変換係数の前記レベルの絶対値が1より大であることを表すこと

を実行することと、を含む、符号化方法。

10

## 【請求項 4】

前記コンテキスト符号化されたピンの残りの数が4未満であることに応じて、前記スキャンする第1のパスを終了することを更に含む、請求項3に記載の符号化方法。

## 【請求項 5】

ビデオデータを符号化するシステムであって、前記システムが、  
一組の命令を格納する少なくとも1つのメモリと、  
少なくとも1つのプロセッサと、を備え、  
前記プロセッサは、前記一組の命令を実行して、ビデオフレームのサブブロックの複数の変換係数をスキャンする第1のパスを実行することを含む動作を前記システムに行わせるように構成され、前記スキャンする第1のパスが、

コンテキスト符号化されたピンの数が4以上であるか否かを決定することと、

前記コンテキスト符号化されたピンの残りの数が4以上であることに応じて、

対象の変換係数の `sig__coeff__flag` を符号化することであって、前記 `sig__coeff__flag` は、対象の前記変換係数のレベルがゼロであるか否かを示すこと、及び

対象の前記変換係数の前記レベルがゼロではないことに応じて、対象の前記変換係数の `coeff__sign__flag` 及び `abs__level__gtx__flag [ 0 ]` を符号化することであって、前記 `coeff__sign__flag` は、対象の前記変換係数の前記レベルの符号を表し、前記 `abs__level__gtx__flag [ 0 ]` は、対象の前記変換係数の前記レベルの絶対値が1より大であることを表すこと

を実行することと、を含む、システム。

20

30

## 【請求項 6】

ビデオデータを復号するシステムであって、前記システムが、  
一組の命令を格納する少なくとも1つのメモリと、  
1つ又は複数のプロセッサと、を備え、  
前記プロセッサは、前記一組の命令を実行して、ビデオフレームのサブブロックの複数の変換係数をスキャンする第1のパスを実行することを含む動作を前記システムに行わせるように構成され、前記スキャンする第1のパスが、

コンテキスト符号化されたピンの残りの数が4以上であるか否かを決定することと、

前記コンテキスト符号化されたピンの残りの数が4以上であることに応じて、

対象の変換係数の `sig__coeff__flag` を復号することであって、前記 `sig__coeff__flag` は、対象の前記変換係数のレベルがゼロであるか否かを示すこと、及び

対象の前記変換係数の前記レベルがゼロではないことに応じて、対象の前記変換係数

40

50

の `coeff_sign_flag` 及び `abs_level_gt_x_flag[0]` を復号することであって、前記 `coeff_sign_flag` は、対象の前記変換係数の前記レベルの符号を表し、前記 `abs_level_gt_x_flag[0]` は、対象の前記変換係数の前記レベルの絶対値が1より大であることを表すこと

を実行することと、を含む、システム。

【発明の詳細な説明】

【技術分野】

【0001】

関連出願の相互参照

【0001】 本開示は、2019年6月24日に出願された米国仮特許出願第62/865,916号、2019年9月18日に出願された同第62/902,115号、及び2019年12月24日に出願された同第62/953,460号の優先権及び優先権の利益を主張するものである。上記3つの仮出願は、その全体が参照により本明細書に組み込まれる。

10

【0002】

技術分野

【0002】 本開示は、一般に、ビデオデータ処理に関し、より詳細には、ビデオデータの変換スキップ残差符号化に関する。

【背景技術】

【0003】

背景

【0003】 ビデオの圧縮及び解凍の業界では、ビデオ符号化の新しい標準が開発されている。例えば、ITU-Tビデオコーディングエキスパートグループ (Video Coding Expert Group、「VCEG」と、ISO/IECムービングピクチャエキスパートグループ (Moving Picture Expert Group、「MPEG」と) によるジョイントビデオエキスパートチーム (Joint Video Experts Team、「JVET」) が、バーサタイルビデオコーディング (Versatile Video Coding、「VVC」) 標準を現在開発している。VVC標準は、その前身である高効率ビデオコーディング (High Efficiency Video Coding、「HEVC/H.265」) 標準の圧縮効率を倍増することを目的としている。換言すれば、VVCの目標は、HEVC/H.265と同じ主観的な品質を半分の帯域幅で実現することである。

20

30

【発明の概要】

【課題を解決するための手段】

【0004】

開示の概要

【0004】 本開示の実施形態は、変換スキップ残差ビデオデータ符号化のための方法及びシステムを提供する。

【0005】

【0005】 1つの例示的な方法は、ビデオフレームのサブブロックの変換係数をスキャンする第1のパスを実行することを含み、スキャンする第1のパスが、変換係数のパリティレベルフラグをバイパス符号化することを含み、パリティレベルフラグが変換係数のレベルの絶対値のパリティを示す。

40

【0006】

【0006】 別の例示的な方法は、ビデオフレームのサブブロックの変換係数をスキャンする第1のパスを実行することを含み、スキャンする第1のパスが、変換係数のパリティレベルフラグをバイパス復号することを含み、パリティレベルフラグが変換係数のレベルの絶対値のパリティを示す。

【0007】

【0007】 1つの例示的なシステムは、一組の命令を格納するメモリと、プロセッサとを備え、プロセッサは、一組の命令を実行して、ビデオフレームのサブブロックの変換係数

50

をスキャンする第1のパスを実行することをシステムに行わせるように構成され、スキャンする第1のパスが、変換係数のパリティレベルフラグをバイパス符号化することを含み、パリティレベルフラグが変換係数のレベルの絶対値のパリティを示す。

【0008】

[0008] 別の例示的なシステムは、一組の命令を格納するメモリと、プロセッサとを備え、プロセッサは、一組の命令を実行して、ビデオフレームのサブブロックの変換係数をスキャンする第1のパスを実行することをシステムに行わせるように構成され、スキャンする第1のパスが、変換係数のパリティレベルフラグをバイパス復号することを含み、パリティレベルフラグが変換係数のレベルの絶対値のパリティを示す。

【0009】

図面の簡単な説明

[0009] 以下の詳細な説明及び添付の図面において、本開示の実施形態及び様々な態様を説明する。各図に示す様々な特徴は、必ずしも原寸に比例して描かれていない。

【図面の簡単な説明】

【0010】

【図1】[0010]ハイブリッドビデオ符号化システムの例示的なエンコーダのブロック図を示す。

【図2】[0011]ハイブリッドビデオ符号化システムの例示的なデコーダのブロック図を示す。

【図3】[0012]変換符号化のシンタックスを含む例示的な擬似コードを示す。

【図4】[0013]変換スキップ残差符号化のシンタックスを含む例示的な擬似コードを示す。

【図5】[0014]本開示のいくつかの実施形態による、符号化パスの数を3に減らした、変換スキップ残差符号化の例示的な方法を示す。

【図6】[0015]本開示のいくつかの実施形態による、図5に示す方法のシンタックスを含む例示的な擬似コードを示す。

【図7】[0016]本開示のいくつかの実施形態による、符号化パスの数を3に減らした、変換スキップ残差符号化の別の例示的な方法を示す。

【図8】[0017]本開示のいくつかの実施形態による、図7に示す方法のシンタックスを含む例示的な擬似コードを示す。

【図9】[0018]本開示のいくつかの実施形態による、 $8 \times 8$ の変換スキップブロックの例示的な逆方向スキャンを示す。

【図10A】[0019]本開示のいくつかの実施形態による、反転される前の $8 \times 8$ のブロックを示す。

【図10B】[0020]本開示のいくつかの実施形態による、図10Aの $8 \times 8$ のブロックが反転された後の結果として得られるブロックを示す。

【図11】[0021]本開示のいくつかの実施形態による、例示的なマルチパス符号化を示す。

【図12】[0022]本開示のいくつかの実施形態による、レベルの絶対値の例示的なシングルパス符号化方法を示す。

【図13】[0023]本開示のいくつかの実施形態による、ライスパラメータの例示的なルックアップテーブルを示す。

【図14】[0024]本開示のいくつかの実施形態による、シングルパスバイパス符号化と組み合わされた、符号化パスの数を3に減らした、変換スキップ残差符号化の例示的な方法を示す。

【図15】[0025]本開示のいくつかの実施形態による、図14の方法と組み合わされた、バイパス符号化のシンタックスを含む例示的な擬似コードを示す。

【図16】[0026]本開示のいくつかの実施形態による、第1のパスがコンテキスト符号化に対応し、第2のパスがゴロム・ライス符号化に対応する、変換スキップ残差符号化の例示的な方法を示す。

10

20

30

40

50

【図17】[0027]本開示のいくつかの実施形態による、図16の方法のバイパス符号化のシンタックスを含む例示的な擬似コードを示す。

【図18】[0028]本開示のいくつかの実施形態による、最小バイパス符号化値が0に等しい場合のライスパラメータの例示的なルックアップテーブルを示す。

【発明を実施するための形態】

【0011】

詳細な説明

[0029] ここで、例示的な実施形態を詳細に参照し、例示的な実施形態の例を添付の図面に示す。以下の説明は添付の図面を参照しており、添付の図面においては、別段の記載がない限り、異なる図面で同じ番号がある場合、この番号は同じ又は類似の要素を表している。例示的な実施形態の以下の説明に記載されている実装形態は、本発明と一致するすべての実装形態を表しているわけではない。そうではなく、これら実装形態は、添付の特許請求の範囲に記載されている本発明に関連する態様と一致する装置及び方法の例に過ぎない。以下に、本開示の特定の態様をより詳細に説明する。本明細書に記載されている用語及び定義が、参照により組み込まれている用語及び/又は定義と矛盾する場合には、本明細書の記載が優先される。

【0012】

[0030] ビデオは、視覚情報を格納するために時系列に配置された一組の静止画像（又は「フレーム」）である。これらの画像を時系列でキャプチャ及び格納するためには、ビデオキャプチャデバイス（例えば、カメラ）を使用することができ、そのような画像を時系列で表示するためには、ビデオ再生デバイス（例えば、テレビ、コンピュータ、スマートフォン、タブレットコンピュータ、ビデオプレーヤ、又は表示機能を備えた任意のエンドユーザ端末）を使用することができる。また、いくつかの用途では、ビデオキャプチャデバイスは、調査、会議、又は生放送などのために、キャプチャしたビデオをビデオ再生デバイス（例えば、モニタを備えたコンピュータ）にリアルタイムで送信することができる。

【0013】

[0031] このような用途で必要とされるストレージ空間及び伝送帯域幅を減らすために、ビデオを圧縮することができる。例えば、ビデオは、格納及び送信の前に圧縮ことができ、表示の前に解凍することができる。圧縮及び解凍は、プロセッサ（例えば、汎用コンピュータのプロセッサ）によって実行されるソフトウェア又は専用ハードウェアによって実施することができる。圧縮のためのモジュールは一般に「エンコーダ」と呼ばれ、解凍のためのモジュールは一般に「デコーダ」と呼ばれる。エンコーダ及びデコーダは、「コーデック」と総称され得る。エンコーダ及びデコーダは、様々な適切なハードウェア、ソフトウェア、又はそれらの組み合わせのいずれかとして実装することができる。例えば、エンコーダ及びデコーダのハードウェア実装形態としては、1つ又は複数のマイクロプロセッサ、デジタルシグナルプロセッサ（DSP）、特定用途向け集積回路（ASIC）、フィールドプログラマブルゲートアレイ（FPGA）、離散ロジック、又はそれらの任意の組み合わせなどの回路が挙げられる。エンコーダ及びデコーダのソフトウェア実装形態としては、プログラムコード、コンピュータ実行可能命令、ファームウェア、又はコンピュータ可読媒体に固定された任意の適切なコンピュータ実装アルゴリズム若しくはプロセスが挙げられる。ビデオの圧縮及び解凍は、MPEG-1、MPEG-2、MPEG-4、又はH.26xシリーズなどの様々なアルゴリズム又は標準によって実装することができる。いくつかの用途では、コーデックは、第1の符号化標準からのビデオを解凍し、第2の符号化標準を使用して、解凍されたビデオを再圧縮することができ、この場合、コーデックは「トランスコーダ」と呼ばれ得る。

【0014】

[0032] ビデオ符号化プロセスは、画像を再構成するために使用され得る有用な情報を識別して保持することができる。ビデオ符号化プロセスで無視された情報を完全に再構成できない場合、符号化プロセスは「非可逆」と呼ばれ得る。それ以外の場合、符号化プロ

10

20

30

40

50

セスは「可逆」と呼ばれ得る。ほとんどの符号化プロセスは非可逆であり、このことは、必要なストレージ空間及び伝送帯域幅を減らすこととのトレードオフである。

【 0 0 1 5 】

[0033] 多くの場合、符号化される画像（「対象の画像」と呼ばれる）の有用な情報は、参照画像（例えば、以前に符号化又は再構成された画像）に対する変化を含み得る。このような変化としては、ピクセルの位置の変化、輝度の変化、又は色の変化が挙げられ、その中でも位置の変化が主に関係する。物体を表す一群のピクセルの位置の変化は、参照画像と対象の画像との間の物体の動きを反映し得る。

【 0 0 1 6 】

[0034] H E V C / H . 2 6 5 と同じ主観的な品質を半分の帯域幅を用いて実現するために、J V E T は、ジョイントエクスプロレーションモデル（joint exploration model、「J E M」）参照ソフトウェアを使用して H E V C を超える技術を開発してきた。符号化技術が J E M に組み込まれたため、J E M は H E V C よりも大幅に高い符号化パフォーマンスを実現した。V C E G 及び M P E G もまた、H E V C を超える次世代ビデオ圧縮標準の開発を正式に開始した。

【 0 0 1 7 】

[0035] V V C 標準は、より優れた圧縮パフォーマンスを提供する多くの符号化技術を含めることを続けている。V V C は、H E V C、H . 2 6 4 / A V C、M P E G 2、H . 2 6 3 などの最新のビデオ圧縮標準で使用されてきたものと同じハイブリッドビデオ符号化システムに基づいている。図 1 は、ハイブリッドビデオ符号化システムの例示的なエンコーダのブロック図を示す。図 1 に示すように、ビデオエンコーダ 2 0 0 は、ビデオブロック、又はビデオブロックのパーティション若しくはサブパーティションを含む、ビデオフレーム内のブロックのイントラ符号化又はインター符号化を実行し得る。イントラ符号化は、所与のビデオフレーム内のビデオにおける空間的冗長性を低減又は除去するために空間的予測に依拠し得る。インター符号化は、ビデオシーケンスの隣接するフレーム内のビデオにおける時間的冗長性を低減又は除去するために時間的予測に依拠し得る。イントラモードとは、いくつかの空間ベースの圧縮モードを指し得る。インターモード（片方向予測又は双方向予測など）は、いくつかの時間ベースの圧縮モードを指し得る。

【 0 0 1 8 】

[0036] 図 1 を参照すると、入力ビデオ信号 2 0 2 が、ブロックごとに処理され得る。例えば、ビデオブロックユニットは、 $16 \times 16$  のピクセルブロック（例えば、マクロブロック（M B））であり得る。ビデオブロックユニットのサイズは、使用する符号化技法、並びに必要な精度及び効率に応じて異なり得る。H E V C では、拡張ブロックサイズ（例えば、符号化ツリーユニット（C T U））を使用して、例えば  $1080p$  以上の解像度のビデオ信号を圧縮することができる。H E V C では、C T U は、最大  $64 \times 64$  のルーマサンプル、対応するクロマサンプル、及び関連するシンタックス要素を含み得る。V V C では、C T U のサイズは更に増えて、 $128 \times 128$  のルーマサンプル、対応するクロマサンプル、及び関連するシンタックス要素を含み得る。C T U は、例えば、四分木、二分木、又は三分木を使用して、符号化ユニット（C U）に更に分割され得る。C U は、別個の予測方法が適用され得る予測ユニット（P U）に更に分割され得る。各入力ビデオブロックは、空間的予測ユニット 2 6 0 又は時間的予測ユニット 2 6 2 を使用することによって処理され得る。

【 0 0 1 9 】

[0037] 空間的予測ユニット 2 6 0 は、対象のブロックを含む同じ画像 / スライスに関する情報を用いて、対象のブロック / C U に対して空間的予測（例えば、イントラ予測）を実行する。空間的予測は、同じビデオ画像フレーム / スライス内の既に符号化された隣接ブロックからのピクセルを使用して、対象のビデオブロックを予測し得る。空間的予測は、ビデオ信号に固有の空間的冗長性を低減し得る。

【 0 0 2 0 】

[0038] 時間的予測ユニット 2 6 2 は、対象のブロックを含む画像 / スライスとは異なる

10

20

30

40

50

る画像/スライスからの情報を用いて、対象のブロックに対して時間的予測（例えば、インター予測）を実行する。ビデオブロックの時間的予測は、1つ又は複数の動きベクトルによって信号化され得る。片方向時間的予測では、対象のブロックの予測信号を生成するために、1つの参照画像を示す動きベクトルは1つしか使用されない。一方、双方向時間的予測では、それぞれの参照画像をそれぞれ示す2つの動きベクトルが、対象のブロックの予測信号を生成するために使用され得る。動きベクトルは、対象のブロックと参照フレーム内の1つ又は複数の関連するブロックとの間の動きの量及び方向を示し得る。複数の参照画像がサポートされる場合、1つ又は複数の参照画像インデックスがビデオブロックに送信され得る。1つ又は複数の参照画像インデックスは、時間的予測信号が参照画像ストア又は復号された画像バッファ（DPB）264内のどの参照画像から到来し得るかを識別するために使用され得る。

10

#### 【0021】

[0039] エンコーダのモード決定及びエンコーダ制御ユニット280は、例えば、レート歪み最適化に基づいて予測モードを選択し得る。決定された予測モードに基づいて、予測ブロックが取得され得る。予測ブロックは、加算器216において、対象のビデオブロックから差し引かれ得る。予測残差は、変換ユニット204によって変換され、量子化ユニット206によって量子化され得る。量子化された残差係数は、逆量子化ユニット210において逆量子化され、逆変換ユニット212において逆変換されて、再構成された残差を形成し得る。再構成された残差は、加算器226において予測ブロックに追加されて、再構成されたビデオブロックを形成し得る。ループフィルタリングの前の再構築されたビデオブロックは、イントラ予測のための参照サンプルを提供するために使用され得る。

20

#### 【0022】

[0040] 再構成されたビデオブロックは、ループフィルタ266においてループフィルタリングを通り得る。例えば、デブロッキングフィルタ、サンプルアダプティブオフセット（SAO）、及び適応ループフィルタ（ALF）などのループフィルタリングが適用され得る。ループフィルタリングの後の再構成されたブロックは、参照画像ストア264に格納されてよく、他のビデオブロックを符号化するためのインター予測参照サンプルを提供するために使用され得る。出力ビデオビットストリーム220を形成するために、符号化モード（例えば、インター又はイントラ）、予測モード情報、動き情報、及び量子化された残差係数がエントロピー符号化ユニット208に送信されて、ビットレートを更に減らした後に、データが圧縮され、パックされてビットストリーム220を形成し得る。

30

#### 【0023】

[0041] 図2は、ハイブリッドビデオ符号化システムの例示的なデコーダのブロック図を示す。図2に示すように、ビデオビットストリーム302は、エントロピー復号ユニット308においてアンパック又はエントロピー復号され得る。符号化モード情報は、空間的予測ユニット360を選択するか時間的予測ユニット362を選択するかを判定するために使用され得る。予測モード情報は、予測ブロックを生成するために対応する予測ユニットに送信され得る。例えば、動き補償予測は、時間的予測ユニット362によって適用されて、時間的予測ブロックを形成し得る。

#### 【0024】

[0042] 残差係数は、再構成された残差を取得するために逆量子化ユニット310及び逆変換ユニット312に送信され得る。予測ブロックと再構成された残差とは、326において一緒に加算されて、ループフィルタリングの前の再構成されたブロックを形成し得る。次いで、再構成されたブロックは、ループフィルタ366においてループフィルタリングを通り得る。例えば、デブロッキングフィルタ、SAO、及びALFなどのループフィルタリングが適用され得る。次いで、ループフィルタリングの後の再構成されたブロックは、参照画像ストア364に格納され得る。参照画像ストア364内の再構成されたデータは、復号されたビデオ320を取得するために使用され得る、又は将来のビデオブロックを予測するために使用され得る。復号されたビデオ320は、システム100（図1）において説明されるようなディスプレイデバイス146などのディスプレイデバイス上

40

50

に表示され得る。

【 0 0 2 5 】

[0043] VVC (例えば、VVC5)では、ブロックは変換係数のM行N列の配列であり得る。変換係数は、変換において特定の1次元又は2次元の周波数インデックスに関連付けられる、周波数領域にあると見なされるスカラー量であり得る。変換係数レベルは、配列TransCoeffLevel[x0][y0][cldx][xC][yC]によって表され得る。配列インデックスx0、y0は、画像の左上のルーマサンプルに対する、考慮される変換ブロックの左上ルーマサンプルのロケーション(x0, y0)を指定し得る。配列インデックスcldxは、色成分のインジケータを指定し得る。配列インデックスxC及びyCは、対象の変換ブロック内の変換係数ロケーション(xC, yC)を指定し得る。

10

【 0 0 2 6 】

[0044] VVC (例えば、VVC5)では、符号化ブロックの変換係数は、重複しない係数グループ(又はサブブロック)を使用して符号化される。各サブブロックについて、通常の(又はコンテキスト)符号化されたピンとバイパス符号化されたピンとが符号化順に分離される。例えば、最初にサブブロックのすべての通常の符号化されたピンが送信され、その後、バイパス符号化されたピンが送信される。サブブロックの変換係数レベルは、スキャン位置を3回パスする間に符号化される。変換係数レベルは、変換係数の値であり得る。コンテキスト符号化の場合、各ピンは、コンテキストによって選択される確率モデルを有し得る。コンテキストは、以前に符号化されたシンタックス要素を指し得る。バイパス符号化の場合、特定のピンが、符号化効率の損失がほとんどない状態で符号化プロセスを高速化するために選択され得る。バイパス符号化では、ピンは、設定された確率(例えば、0.5に等しい確率)で符号化され得る。

20

【 0 0 2 7 】

[0045] パス1では、有意フラグ(例えば、sig\_coeff\_flag)、1より大のフラグ(例えば、gt1\_flag)、パリティフラグ(例えば、par\_level\_flag)、及び3より大のフラグ(例えば、gt3\_flag)が順に符号化される。有意フラグが1に等しい場合、最初に1より大のフラグが符号化される。1より大のフラグは、絶対レベル(例えば、レベルの絶対値)が1より大であるか否かを指定する。1より大のフラグが1に等しい場合、パリティフラグ及び3より大のフラグが符号化される。パリティフラグは、絶対レベルから2を差し引いたパリティを指定する。3より大のフラグは、絶対レベルが3より大であるか否かを指定する。最後の通常の(例えば、コンテキスト)符号化された係数の位置は、変数firstPosMode1に格納され得る。

30

【 0 0 2 8 】

[0046] パス2(a)では、残りの絶対レベル(例えば、abs\_remainder)の符号化が、係数グループの最初のスキャン位置から開始してfirstPosMode1の位置まで処理される。1より大のフラグが1に等しい位置のみが符号化される。非2値シンタックス要素は、ゴロム・ライス符号で2値化され、結果として得られるピンは、算術符号化エンジンのバイパスモードで符号化される。例えば、値2は、「001」のゴロム・ライス符号を使用して表すことができ、「001」の各ビットは、ピン(例えば、ピン0、ピン0、及びピン1)と呼ばれ得る。

40

【 0 0 2 9 】

[0047] パス2(b)では、絶対レベル(dec\_abs\_level)の符号化が、第1のバイパス符号化位置(例えば、逆順から、firstPosMode1-1)から開始して係数グループの最後のスキャン位置まで処理され、ゴロム・ライス符号を使用して算術符号化エンジンのバイパスモードで完全に符号化される。

【 0 0 3 0 】

[0048] パス3では、符号フラグ(例えば、sign\_flag)の符号化が、sig\_coeff\_flagが1に等しいすべてのスキャン位置に対して処理される。

【 0 0 3 1 】

[0049] 4x4のサブブロックの場合、32個以下の通常の符号化されたピン(例えば

50

、sig\_coeff\_flag、gt1\_flag、par\_level\_flag、及びgt3\_flag)が符号化又は復号されると期待され得る。2×2のクロマサブブロックの場合、通常符号化されたピンの数は8に制限され得る。限度に到達した後、すべてのピンがバイパスモードで符号化される。

【0032】

[0050] J V E Tが変換スキップ残差ブロックのために採用した新しい残差符号化プロセスでは、変換スキップ残差符号化の係数のスキャンの順序は順方向スキャンであり、変換スキップブロックの左上の位置から開始する。サブブロックの変換スキップ係数レベルは、スキャン位置を6回パスする間に符号化される。

【0033】

[0051] パス1では、sig\_coeff\_flag、coeff\_sign\_flag、1より大のフラグ(例えば、abs\_level\_gtx\_flag[0])、及びpar\_level\_flagが符号化順に処理される。sig\_coeff\_flagが1に等しい場合、coeff\_sign\_flag及びabs\_level\_gtx\_flag[0]が順に符号化される。coeff\_sign\_flagは、変換係数レベルの符号を指定する。abs\_level\_gtx\_flag[0]は、絶対レベルが1より大であるか否かを指定する。abs\_level\_gtx\_flag[0]が1に等しい場合、par\_level\_flagが追加的に符号化される。par\_level\_flagは、絶対レベルから2を差し引いたパリティを指定する。フラグを符号化する前には、コンテキスト適応型2値算術符号化(context-adaptive binary arithmetic coding、「C A B A C」)エンジンが、コンテキスト符号化されたピンが利用可能か否かをチェックする。コンテキスト符号化されたピンが利用可能ではない場合、そのフラグはバイパス符号化される。

【0034】

[0052] パス2では、所与の位置のabs\_level\_gtx\_flag[0]が1に等しい場合、3より大のフラグ(例えば、abs\_level\_gtx\_flag[1])が符号化される。abs\_level\_gtx\_flag[1]は、絶対レベルが3より大であるか否かを指定する。各係数のabs\_level\_gtx\_flag[1]を符号化する前には、C A B A Cエンジンが、コンテキスト符号化されたピンが利用可能か否かをチェックする。コンテキスト符号化されたピンが利用可能ではない場合、abs\_level\_gtx\_flag[1]はバイパス符号化される。

【0035】

[0053] パス3では、所与の位置のabs\_level\_gtx\_flag[1]が1に等しい場合、5より大のフラグ(例えば、abs\_level\_gtx\_flag[2])が符号化される。abs\_level\_gtx\_flag[2]は、絶対レベルが5より大であるか否かを指定する。各係数のabs\_level\_gtx\_flag[2]を符号化する前には、C A B A Cエンジンが、コンテキスト符号化されたピンが利用可能か否かをチェックする。コンテキスト符号化されたピンが利用可能ではない場合、abs\_level\_gtx\_flag[2]はバイパス符号化される。

【0036】

[0054] パス4では、所与の位置のabs\_level\_gtx\_flag[2]が1に等しい場合、7より大のフラグ(例えば、abs\_level\_gtx\_flag[3])が符号化される。abs\_level\_gtx\_flag[3]は、絶対レベルが7より大であるか否かを指定する。各係数のabs\_level\_gtx\_flag[3]を符号化する前には、C A B A Cエンジンが、コンテキスト符号化されたピンが利用可能か否かをチェックする。コンテキスト符号化されたピンが利用可能ではない場合、abs\_level\_gtx\_flag[3]はバイパス符号化される。

【0037】

[0055] パス5では、ある位置のabs\_level\_gtx\_flag[3]が1に等しい場合、9より大のフラグ(例えば、abs\_level\_gtx\_flag[4])が符号化される。abs\_level\_gtx\_flag[4]は、絶対レベルが9より大であるか否かを指定する。各係数のabs\_level\_gtx\_flag[4]を符号化する前には、C A B A Cエンジンが、コンテキスト符号化されたピンが利用可能か否かをチェックする。コンテキスト符号化されたピンが利用可能ではない場合、abs\_level\_gtx\_flag[4]はバイパス符号化される。

【0038】

[0056] パス6では、abs\_remainderが、abs\_level\_gtx\_flag[4]が1に等しいすべてのスキャン位置に対して処理される。非2値シンタックス要素は、ゴロム・ライス符号

10

20

30

40

50

で2値化され、結果として得られるピンは、算術符号化エンジンのバイパスモードで符号化される。

【0039】

[0057] 図3は、変換符号化のシンタックスを含む例示的な擬似コードを示す。例えば、図3に示すシンタックスは、VVCにおける変換符号化に使用され得る。図4は、変換スキップ残差符号化のシンタックスを含む例示的な擬似コードを示す。例えば、図4に示すシンタックスは、VVCにおける変換スキップ残差符号化に使用され得る。

【0040】

[0058] 変換スキップ残差符号化の現在の設計にはいくつかの問題がある。第1に、変換スキップ残差符号化の符号化パスの数は6回である。つまり、多くの場合、CABAC 10  
エンジンは係数グループを6回スキャンする必要がある、このことはCABACのスループットに大きく影響する。第2に、変換スキップ残差符号化の符号化パスの数は、変換残差符号化の符号化パスの数とは異なる（例えば、6回のパス対3回のパス）。符号化パスの数の差により、ハードウェアの実装が複雑になり得る。第3に、変換スキップ残差符号化の係数スキャンは順方向スキャンであるのに対し、変換残差符号化のスキャンは逆順である。スキャンの順序の違いによっても、ハードウェアの実装が複雑になり得る。第4に、変換残差符号化では、バイパス符号化は、2つのシンタックス要素（例えば、abs\_remainder及びdec\_abs\_level）しか持たない。しかしながら、変換スキップ残差符号化では、バイパス符号化は、sig\_coeff\_flag、coeff\_sign\_flag、par\_level\_flag、abs\_level\_gtx\_flag[0]、abs\_level\_gtx\_flag[1]、abs\_level\_gtx\_flag[2]、abs\_level\_gtx\_flag[3]、abs\_level\_gtx\_flag[4]、及びabs\_remainderなどの更に多くのシンタックス要素を有し得る。変換残差符号化及び変換スキップ残差符号化のバイパス符号化方法を統合することが望ましい。 20

【0041】

[0059] 本開示の実施形態は、パリティフラグの新しいバイパス符号化方法を提供する。パリティフラグは、絶対レベルから2を差し引いたパリティを指定し、これは、非ゼロ係数位置の絶対値が偶数であるか奇数であるかを示す。変換スキップブロックにおけるパリティフラグの確率分布は一様であり得る。したがって、偶数値の確率と奇数値の確率とは等しくなり得る。これにより、パリティフラグ及び信号パリティフラグのバイパス符号化が適用され得る。このバイパス符号化は、abs\_remainderが信号化される前又は後に行われ得る。パリティフラグは、1より大のフラグが1に等しい場合に信号化され得る。いくつかの実施形態では、コンテキスト符号化されたピンの総数は、変換ブロック内のサンプル当たり2つのピンに制限され得るため、パリティフラグのコンテキストを解放することにより、等しくない確率分布を有する他のシンタックス要素（例えば、パリティフラグの後に符号化されたxより大のフラグのいずれか）をコンテキスト符号化させることができ、これにより符号化効率を向上させることができる。 30

【0042】

[0060] いくつかの実施形態では、パリティフラグは、通常のコンテキスト符号化されたピンとして符号化され、係数符号化プロセスの第2のパスで信号化され得る。パリティフラグは、3より大のフラグの前又は後に信号化され得る。 40

【0043】

[0061] VVC（例えば、VVC5）では、全部で4つの符号化パスが、3より大のフラグ（例えば、abs\_level\_gtx\_flag[1]）、5より大のフラグ（例えば、abs\_level\_gtx\_flag[2]）、7より大のフラグ（abs\_level\_gtx\_flag[3]）、及び9より大のフラグ（例えば、abs\_level\_gtx\_flag[4]）を符号化するために使用される。換言すれば、各フラグは別個の符号化パスで符号化される。本開示の実施形態は、単一のパスですべてのフラグを符号化するための新しい方法を提供する。その結果、すべてのフラグを符号化するために必要な符号化パスは1つだけであり、これにより、CABACのスループットを向上させることができる。 50

【0044】

[0062] いくつかの実施形態では、3より大のフラグ（例えば、abs\_level\_gtx\_flag[1]）の位置は、第1の符号化パスに移動され得る。例えば、1より大のフラグ（例えば、abs\_level\_gtx\_flag[1]）が1に等しい場合、3より大のフラグが信号化され得る。この変更により、変換残差符号化のケース1より大のフラグ及び3より大のフラグの符号化を統合することができ、またこれにより、第1の符号化パスでこれら2つのフラグが符号化される。

【0045】

[0063] いくつかの実施形態では、サブブロックの変換スキップレベルの符号化パスの数が、3に減らされ得る。図5は、本開示のいくつかの実施形態による、符号化パスの数を3に減らした、変換スキップ残差符号化の例示的な方法を示す。図5の方法は3つのパスを含む。

10

【0046】

[0064] パス1（ステップ502）では、サブブロックの係数がスキャンされる。いくつかの実施形態では、サブブロックの最初のスキャン位置から開始してそのサブブロックの最後のスキャン位置までの各係数がスキャンされる。各係数には有意フラグ（例えば、sig\_coeff\_flag）が存在し得る。いくつかの実施形態では、有意フラグは、係数のレベルが非ゼロ値であるか否かを指定し得る。係数の有意フラグが、レベルが非ゼロ値であることを示している（例えば、有意フラグが1に等しい）場合、信号係数符号フラグ（例えば、coeff\_sign\_flag）及び1より大のフラグ（例えば、abs\_level\_gtx\_flag[0]）が符号化され得る。1より大のフラグは、レベルの絶対値が1より大であるか否かを指定し得る。

20

【0047】

[0065] パス2（ステップ504）では、サブブロックの係数がスキャンされる。いくつかの実施形態では、サブブロックの最初のスキャン位置から開始してそのサブブロックの最後のスキャン位置までの各係数がスキャンされる。係数の1より大のフラグが、絶対レベルが1より大であることを示している（例えば、1より大のフラグが1に等しい）場合、3より大のフラグ（例えば、abs\_level\_gtx\_flag[1]）が符号化され得る。3より大のフラグは、絶対レベルが3より大であるか否かを指定し得る。係数の3より大のフラグが、絶対レベルが3より大であることを示している（例えば、3より大のフラグが1に等しい）場合、5より大のフラグ（例えば、abs\_level\_gtx\_flag[2]）が符号化され得る。5より大のフラグは、絶対レベルが5より大であるか否かを指定し得る。係数の5より大のフラグが、絶対レベルが5より大であることを示している（例えば、5より大のフラグが1に等しい）場合、7より大のフラグ（例えば、abs\_level\_gtx\_flag[3]）が符号化され得る。7より大のフラグは、絶対レベルが7より大であるか否かを指定し得る。係数の7より大のフラグが、絶対レベルが7より大であることを示している（例えば、7より大のフラグが1に等しい）場合、9より大のフラグ（例えば、abs\_level\_gtx\_flag[4]）が符号化され得る。9より大のフラグは、絶対レベルが9より大であるか否かを指定し得る。

30

【0048】

[0066] パス3（ステップ506）では、サブブロックの係数がスキャンされる。いくつかの実施形態では、サブブロックの最初のスキャン位置から開始してそのサブブロックの最後のスキャン位置までの各係数がスキャンされる。係数の1より大のフラグが、絶対レベルが1より大であることを示している（例えば、1より大のフラグが1に等しい）場合、係数のパリティレベルフラグ（例えば、par\_level\_flag）がバイパス符号化され得る。パリティレベルフラグは、絶対レベルから2を差し引いたパリティを指定し得る。9より大のフラグが、絶対レベルが9より大であることを示している（例えば、9より大のフラグが1に等しい）場合、係数の残りの絶対レベル（例えば、abs\_remainder）が符号化され得、非2値シンタックス要素がゴロム・ライス符号で2値化され得る。いくつかの実施形態では、結果として得られるピンが、算術符号化エンジンのバイパスモードで符号化され得る。

40

【0049】

[0067] 図6は、本開示のいくつかの実施形態による、図5に示す方法のシンタックス

50

を含む例示的な擬似コードを示す。図6の擬似コードの一部はイタリック体で示され、3より大のフラグ、5より大のフラグ、7より大のフラグ、9より大のフラグ、及びパリティレベルフラグの処理を示している。

【0050】

[0068] 図5の方法は、エンコーダ（例えば、図1のエンコーダ）によって実施され得ることを理解されたい。いくつかの実施形態では、エンコーダはビデオフレームを受信し得る。デコーダ（例えば、図2のデコーダ）については、本方法は3つのパスを含み得る。

【0051】

[0069] パス1では、サブブロックの係数がスキャンされる。いくつかの実施形態では、サブブロックの最初のスキャン位置から開始してそのサブブロックの最後のスキャン位置までの各係数がスキャンされる。各係数には有意フラグ（例えば、sig\_coeff\_flag）が存在し得る。有意フラグは復号され得る。有意フラグは、レベルが非ゼロ値であるか否かを指定し得る。係数の有意フラグが、レベルが非ゼロ値であることを示している（例えば、有意フラグが1に等しい）場合、信号係数符号フラグ（例えば、coeff\_sign\_flag）及び1より大のフラグ（例えば、abs\_level\_gtx\_flag[0]）が復号され得る。

【0052】

[0070] パス2では、サブブロックの係数がスキャンされる。いくつかの実施形態では、サブブロックの最初のスキャン位置から開始してそのサブブロックの最後のスキャン位置までの各係数がスキャンされる。係数の1より大のフラグが、絶対レベルが1より大であることを示している（例えば、1より大のフラグが1に等しい）場合、各係数のパリティレベルフラグ（例えば、par\_level\_flag）が復号され得る。パリティレベルフラグは、絶対レベルから2を差し引いたパリティを指定し得る。係数の1より大のフラグが、絶対レベルが1より大であることを示している（例えば、1より大のフラグが1に等しい）場合、3より大のフラグ（例えば、abs\_level\_gtx\_flag[1]）が復号され得る。係数の3より大のフラグが、絶対レベルが3より大であることを示している（例えば、3より大のフラグが1に等しい）場合、5より大のフラグ（例えば、abs\_level\_gtx\_flag[2]）が復号され得る。係数の5より大のフラグが、絶対レベルが5より大であることを示している（例えば、4より大のフラグが1に等しい）場合、7より大のフラグ（例えば、abs\_level\_gtx\_flag[3]）が復号され得る。係数の7より大のフラグが、絶対レベルが7より大であることを示している（例えば、7より大のフラグが1に等しい）場合、9より大のフラグ（例えば、abs\_level\_gtx\_flag[4]）が復号され得る。

【0053】

[0071] パス3では、サブブロックの係数がスキャンされる。いくつかの実施形態では、サブブロックの最初のスキャン位置から開始してそのサブブロックの最後のスキャン位置までの各係数がスキャンされる。9より大のフラグが、絶対レベルが9より大であることを示している（例えば、9より大のフラグが1に等しい）場合、係数の残りの絶対レベル（例えば、abs\_remainder）が復号され得る。

【0054】

[0072] いくつかの実施形態では、デコーダは、ビデオビットストリームを受信し得る。

【0055】

[0073] 図7は、本開示のいくつかの実施形態による、符号化パスの数を3に減らした、変換スキップ残差符号化の別の例示的な方法を示す。図7の方法は3つのパスを含み得る。

【0056】

[0074] パス1（ステップ702）では、サブブロックの係数がスキャンされる。いくつかの実施形態では、サブブロックの最初のスキャン位置から開始してそのサブブロックの最後のスキャン位置までの各係数がスキャンされる。各係数には有意フラグ（例えば、sig\_coeff\_flag）が存在し得る。有意フラグは、レベルが非ゼロ値であるか否かを示し得る。係数の有意フラグが、レベルが非ゼロ値であることを示している（例えば、有意フラグが1に等しい）場合、信号係数符号フラグ（例えば、coeff\_sign\_flag）及び1より大

10

20

30

40

50

のフラグ（例えば、`abs_level_gtx_flag[0]`）が符号化され得る。1より大のフラグは、レベルの絶対値が1より大であるか否かを指定し得る。係数の1より大のフラグが、レベルの絶対値が1より大であることを示している（例えば、1より大のフラグが1に等しい）場合、3より大のフラグ（例えば、`abs_level_gtx_flag[1]`）が符号化され得る。3より大のフラグは、絶対レベルが3より大であるか否かを指定し得る。

【0057】

[0075] パス2（ステップ704）では、サブブロックの係数がスキャンされる。いくつかの実施形態では、サブブロックの最初のスキャン位置から開始してそのサブブロックの最後のスキャン位置までの各係数がスキャンされる。係数の3より大のフラグが、絶対レベルが3より大であることを示している（例えば、3より大のフラグが1に等しい）場合、5より大のフラグ（例えば、`abs_level_gtx_flag[2]`）が符号化され得る。5より大のフラグは、絶対レベルが5より大であるか否かを指定し得る。係数の5より大のフラグが、絶対レベルが5より大であることを示している（例えば、5より大のフラグが1に等しい）場合、7より大のフラグ（例えば、`abs_level_gtx_flag[3]`）が符号化され得る。7より大のフラグは、絶対レベルが7より大であるか否かを指定し得る。係数の7より大のフラグが、絶対レベルが7より大であることを示している（例えば、7より大のフラグが1に等しい）場合、9より大のフラグ（例えば、`abs_level_gtx_flag[4]`）が符号化され得る。9より大のフラグは、絶対レベルが9より大であるか否かを指定し得る。

【0058】

[0076] パス3（ステップ706）では、サブブロックの係数がスキャンされる。いくつかの実施形態では、サブブロックの最初のスキャン位置から開始してそのサブブロックの最後のスキャン位置までの各係数がスキャンされる。係数の1より大のフラグが、絶対レベルが1より大であることを示している（例えば、1より大のフラグが1に等しい）場合、係数のパリティレベルフラグ（例えば、`par_level_flag`）がバイパス符号化され得る。パリティレベルフラグは、絶対レベルから2を差し引いたパリティを指定し得る。9より大のフラグが、絶対レベルが9より大であることを示している（例えば、9より大のフラグが1に等しい）場合、係数の残りの絶対レベル（例えば、`abs_remainder`）が処理され得、非2値シンタックス要素がゴロム・ライス符号で2値化され得る。結果として得られるピンは、算術符号化エンジンのバイパスモードで符号化され得る。

【0059】

[0077] 図5の方法と比較すると、図7の方法は、パス2ではなくパス1で3より大のフラグの符号化を処理する。図8は、本開示のいくつかの実施形態による、図7に示す方法のシンタックスを含む例示的な擬似コードを示す。図8の擬似コードの一部はイタリック体で示され、3より大のフラグ、5より大のフラグ、7より大のフラグ、9より大のフラグ、及びパリティレベルフラグの処理を示している。

【0060】

[0078] 図7の方法は、エンコーダ（例えば、図1のエンコーダ）によって実施され得ることを理解されたい。いくつかの実施形態では、エンコーダはビデオフレームを受信し得る。デコーダ（例えば、図2のデコーダ）については、本方法は3つのパスを含み得る。

【0061】

[0079] パス1では、サブブロックの係数がスキャンされる。いくつかの実施形態では、サブブロックの最初のスキャン位置から開始してそのサブブロックの最後のスキャン位置までの各係数がスキャンされる。各係数には有意フラグ（例えば、`sig_coeff_flag`）が存在し得る。有意フラグは復号される。有意フラグは、レベルが非ゼロ値であるか否かを示し得る。係数の有意フラグが、レベルが非ゼロ値であることを示している（例えば、有意フラグが1に等しい）場合、信号係数符号フラグ（例えば、`coeff_sign_flag`）及び1より大のフラグ（例えば、`abs_level_gtx_flag[0]`）が復号され得る。係数の1より大のフラグが、絶対レベルが1より大であることを示している（例えば、1より大のフラグが1に等しい）場合、3より大のフラグ（例えば、`abs_level_gtx_flag[1]`）が復号され得る。

10

20

30

40

50

## 【 0 0 6 2 】

[0080] パス2では、サブブロックの係数がスキャンされる。いくつかの実施形態では、サブブロックの最初のスキャン位置から開始してそのサブブロックの最後のスキャン位置までの各係数がスキャンされる。係数の1より大のフラグが、絶対レベルが1より大であることを示している（例えば、1より大のフラグが1に等しい）場合、各係数のパリティレベルフラグ（例えば、par\_level\_flag）が復号され得る。係数の3より大のフラグが、絶対レベルが3より大であることを示している（例えば、3より大のフラグが1に等しい）場合、5より大のフラグ（例えば、abs\_level\_gtx\_flag[2]）が復号され得る。係数の5より大のフラグが、絶対レベルが5より大であることを示している（例えば、5より大のフラグが1に等しい）場合、7より大のフラグ（例えば、abs\_level\_gtx\_flag[3]）が復号され得る。係数の7より大のフラグが、絶対レベルが7より大であることを示している（例えば、7より大のフラグが1に等しい）場合、9より大のフラグ（例えば、abs\_level\_gtx\_flag[4]）が復号され得る。9より大のフラグは、絶対レベルが9より大であるか否かを指定し得る。

10

## 【 0 0 6 3 】

[0081] パス3では、サブブロックの係数がスキャンされる。いくつかの実施形態では、サブブロックの最初のスキャン位置から開始してそのサブブロックの最後のスキャン位置までの各係数がスキャンされる。9より大のフラグが、絶対レベルが9より大であることを示している（例えば、9より大のフラグが1に等しい）場合、係数の残りの絶対レベル（例えば、abs\_remainder）が復号され得る。

20

## 【 0 0 6 4 】

[0082] いくつかの実施形態では、デコーダは、ビデオビットストリームを受信し得る。

## 【 0 0 6 5 】

[0083] いくつかの実施形態では、変換残差符号化プロセスと変換スキップ残差符号化プロセスとのスキャンの順序を統合するために、変換スキップ残差ブロックのスキャンの順序が変更され得る。例えば、変換スキップ残差ブロックのスキャンの順序は、順方向スキャンから逆方向スキャンに変更され得る。図9は、本開示のいくつかの実施形態による、8×8の変換スキップブロックの例示的な逆方向スキャンを示す。図9に示すように、係数のスキャンは、右下隅にある係数から開始され、左上隅にある係数で終了する。図9に示すスキャンの順序は、図5及び図7に示す方法によって適用され得ることを理解されたい。

30

## 【 0 0 6 6 】

[0084] いくつかの実施形態では、逆方向スキャンは、変換ブロックが反転された後に実行され得る。図10A及び図10Bは、本開示のいくつかの実施形態による、8×8のブロックの例示的な反転を示す。図10A及び図10Bに示すように、ブロックを反転した後、左上の残差係数の位置が右下の位置に移動される。ブロックが反転した後、逆方向スキャン（例えば、図9の逆方向スキャン）が実行され得る。

## 【 0 0 6 7 】

[0085] いくつかの実施形態では、バイパス符号化は、複数のパスで実行され得る。図11は、本開示のいくつかの実施形態による、例示的なマルチパス符号化を示す。いくつかの実施形態では、図11に示すマルチパス符号化は、VVC（例えば、VVC5）で実行され得る。図11のコンテキスト符号化されたピンの数は、（図11の黒色の点として示されている）第1のパスの位置において最大限度に到達したと想定され得る。図11に示すように、フラグ（例えば、3より大のフラグ、5より大のフラグ、7より大のフラグ、9より大のフラグなど）は、複数の符号化パスでバイパス符号化され得る。

40

## 【 0 0 6 8 】

[0086] いくつかの実施形態では、レベルの絶対値のシングルパスバイパス符号化が実現され得る。図12は、本開示のいくつかの実施形態による、レベルの絶対値の例示的なシングルパス符号化方法を示す。図12に示すように、コンテキスト符号化されたピンが（例えば、図12に黒色の点として示されている）最大限度に到達すると、C A B A C E

50

ンジンは、ゴロム・ライス符号化を使用して絶対レベルの残りのバイパス符号化を開始し得る。

【 0 0 6 9 】

[0087] 図 1 3 は、本開示のいくつかの実施形態による、ライスパラメータの例示的なルックアップテーブルを示す。図 1 3 によれば、ライスパラメータは変数cRiceParamで表され得る。絶対和のロケーションは、変数locSumAbsで表され得る。

【 0 0 7 0 】

[0088] いくつかの実施形態では、ライスパラメータ（例えば、cRiceParam）は、以下のようにして導出され得る。変換スキップブロックの配列AbsLevel[x][y]、左上のルーマロケーション（x0, y0）、及び対象の係数スキャンロケーション（xC, yC）を所与として、minLevelが最小バイパス符号化値であると仮定すると、係数のフラグのいずれもコンテキスト符号化されない場合、その係数のminLevelは0である。フラグのすべてがコンテキスト符号化されている場合、minLevelは10に等しい。

【 0 0 7 1 】

[0089] いくつかの実施形態では、変数locSumAbsは、以下の擬似コードによって指定されるように導出され得る。

```
locSumAbs = 0
if (xC > 0)
    locSumAbs += AbsLevel[xC - 1][yC]
if (yC > 0)
    locSumAbs += AbsLevel[xC][yC - 1]
locSumAbs += (10 - minLevel)
locSumAbs = Clip3 (0, 31, LocSumAbs)
```

【 0 0 7 2 】

[0090] いくつかの実施形態では、シングルパスバイパス符号化は、図 7 に示す方法と組み合わせられ得る。例えば、図 1 4 は、本開示のいくつかの実施形態による、シングルパスバイパス符号化と組み合わせられた、符号化パスの数を3に減らした、変換スキップ残差符号化の例示的な方法を示す。図 1 4 の方法は3つのパスを含む。

【 0 0 7 3 】

[0091] パス 1（ステップ 1 4 0 2）では、サブブロックの係数がスキャンされる。いくつかの実施形態では、サブブロックの最初のスキャン位置から開始して最後のスキャン位置までの各係数がスキャンされる。各係数について、コンテキスト符号化されたピンの残りの数がグループ限度以上である場合、以下が実行され得る。例えば、いくつかの実施形態では、コンテキスト符号化又はバイパス符号化のいずれかを使用して、グループ内のフラグのすべてを符号化することがより効率的である。その結果、コンテキスト符号化されたピンの数がグループ限度より少ない場合は、残りのフラグの一部をコンテキスト符号化で符号化し、他のフラグをバイパス符号化で符号化するよりも、残りのフラグのすべてをバイパス符号化で符号化する方が効率的である。この例では、パス 1 のグループにおいて符号化された4つのフラグ（例えば、有意フラグ、信号係数符号フラグ、1より大のフラグ、及び3より大のフラグ）が存在し得る。したがって、4のグループ限度を所与として、各係数について、コンテキスト符号化されたピンの残りの数が4以上である場合、以下が実行され得る。有意フラグ（例えば、sig\_coeff\_flag）が、レベルが非ゼロ値であることを示している（例えば、有意フラグが1に等しい）場合、信号係数符号フラグ（例えば、coeff\_sign\_flag）及び1より大のフラグ（例えば、abs\_level\_gt\_x\_flag[0]）が符号化され得る。1より大のフラグが、絶対レベルが1より大であることを示している（例えば、1より大のフラグが1に等しい）場合、3より大のフラグ（例えば、abs\_level\_gt\_x\_flag[1]）が符号化され得る。いくつかの実施形態では、係数は、コンテキスト符号化されたピンが最大限度（例えば、図 1 2 の黒色の点）に到達するまでスキャンされ得、その後、スキャンは、第 1 のパスの最後の位置としての位置で停止する。

【 0 0 7 4 】

10

20

30

40

50

[0092] パス1の終了後、且つパス2の開始前に、以前のパスの最後の位置にしたがって第1のパスバイパス位置変数（例えば、iFirstPassBypassPos）が設定され得る（ステップ1404）。いくつかの実施形態では、第1のパスバイパス位置変数は、以前のパスに1を加えた最後の位置に設定され得る。

【0075】

[0093] パス2（ステップ1406）では、サブブロックの最初のスキャン位置から開始してiFirstPassBypassPosまでの係数がスキャンされ得る。各係数について、コンテキスト符号化されたピンの残りの数がグループ限度以上である場合、以下が実行され得る。例えば、グループ限度は3とすることができる（例えば、5より大のフラグ、7より大のフラグ、及び9より大のフラグ）。3より大のフラグが、絶対レベルが3より大であることを示している（例えば、3より大のフラグが1に等しい）場合、5より大のフラグ（例えば、abs\_level\_gtx\_flag[2]）が符号化され得る。5より大のフラグが、絶対レベルが5より大であることを示している（例えば、5より大のフラグが1に等しい）場合、7より大のフラグ（例えば、abs\_level\_gtx\_flag[3]）が符号化され得る。7より大のフラグが、絶対レベルが7より大であることを示している（例えば、7より大のフラグが1に等しい）場合、9より大のフラグ（例えば、abs\_level\_gtx\_flag[4]）が符号化され得る。

10

【0076】

[0094] パス2の終了後、且つパス3の開始前に、以前のパスの最後の位置にしたがって第2のパスバイパス位置変数（例えば、iSecondPassBypassPos）が設定される（ステップ1408）。いくつかの実施形態では、第2のパスバイパス位置変数は、以前のパスに1を加えた最後の位置に設定され得る。

20

【0077】

[0095] パス3（a）（ステップ1410）では、サブブロックの最初のスキャン位置から開始してiFirstPassBypassPosまでの係数がスキャンされ得る。各係数について以下が実行され得る。1より大のフラグが、絶対レベルが1より大であることを示している（例えば、1より大のフラグが1に等しい）場合、パリティレベルフラグ（例えば、par\_level\_flag）がバイパス符号化され得る。9より大のフラグが、絶対レベルが9より大であることを示している（例えば、9より大のフラグが1に等しい）場合、残りの絶対レベル（例えば、abs\_remainder）の符号化は、ゴロム・ライス符号で2値化される非2値シンタックス要素によって処理され得る。結果として得られるピンは、算術符号化エンジンのバイパスモードで符号化され得る。

30

【0078】

[0096] パス3（b）（ステップ1412）では、iFirstPassBypassPosから開始して、最後のスキャン位置までの係数がスキャンされ得る。各係数について、絶対レベル（例えば、dec\_abs\_level）の符号化が、ゴロム・ライス符号で2値化された非2値シンタックス要素によって処理され得る。結果として得られるピンは、算術符号化エンジンのバイパスモードで符号化され得る。信号係数符号フラグも符号化され得る。

【0079】

[0097] いくつかの実施形態では、パス3（b）では、iFirstPassBypassPosから開始して、最後のスキャン位置までの係数がスキャンされ得、絶対レベル（例えば、dec\_abs\_level）の符号化が、各係数について2ステップで処理され得る。第1に、dec\_abs\_levelがゼロであるか否かが信号化される。dec\_abs\_levelが非ゼロである場合、ゴロム・ライス符号で2値化される非2値シンタックス要素、及び結果として得られるピンは、算術符号化エンジンのバイパスモードで符号化され得る。信号係数符号フラグも符号化され得る。

40

【0080】

[0098] 図15は、本開示のいくつかの実施形態による、図14の方法と組み合わせられた、バイパス符号化のシンタックスを含む例示的な擬似コードを示す。図15の擬似コードの一部はイタリック体で示され、3より大のフラグ、5より大のフラグ、7より大のフラグ、9より大のフラグ、及びパリティレベルフラグの処理を示している。

50

## 【 0 0 8 1 】

[0099] いくつかの実施形態では、2パス符号化方法が使用され得る。例えば、パス1ではフラグのすべてがコンテキスト符号化され得、パス2ではバイパス符号化にゴロム・ライス符号化が使用され得る。図16は、本開示のいくつかの実施形態による、第1のパスがコンテキスト符号化に対応し、第2のパスがゴロム・ライス符号化に対応する、変換スキップ残差符号化の例示的な方法を示す。図16の方法は2つのパスを含む。

## 【 0 0 8 2 】

[00100] パス1(ステップ1602)では、サブブロックの係数がスキャンされる。いくつかの実施形態では、サブブロックの最初のスキャン位置から開始して最後のスキャン位置までの各係数がスキャンされる。各係数について、コンテキスト符号化されたピンの残りの数が8以上である場合、以下が実行され得る。有意フラグ(例えば、sig\_coeff\_flag)がコンテキスト符号化され得る。有意フラグが、レベルが非ゼロであることを示している(例えば、有意フラグが1に等しい)場合、係数符号フラグ(例えば、coeff\_sign\_flag)及び1より大のフラグ(例えば、abs\_level\_gtx\_flag[0])が信号化され得る。1より大のフラグが、絶対レベルが1より大であることを示している(例えば、1より大のフラグが1に等しい)場合、パリティレベルフラグ(例えば、par\_level\_flag)及び3より大のフラグ(例えば、abs\_level\_gtx\_flag[1])が符号化され得る。パリティレベルフラグは、絶対レベルから2を差し引いたパリティを指定し得る。3より大のフラグは、絶対レベルが3より大であるか否かを指定し得る。3より大のフラグが、絶対レベルが3より大であることを示している(例えば、3より大のフラグが1に等しい)場合、5より大のフラグ(例えば、abs\_level\_gtx\_flag[2])が符号化され得る。5より大のフラグが、絶対レベルが5より大であることを示している(例えば、5より大のフラグが1に等しい)場合、7より大のフラグ(例えば、abs\_level\_gtx\_flag[3])が符号化され得る。7より大のフラグが、絶対レベルが7より大であることを示している(例えば、7より大のフラグが1に等しい)場合、9より大のフラグ(例えば、abs\_level\_gtx\_flag[4])が符号化され得る。9より大のフラグは、レベルの絶対レベルが9より大であるか否かを指定し得る。いくつかの実施形態では、係数は、コンテキスト符号化されたピンが最大限度(例えば、図12の黒色の点)に到達するまでスキャンされ得、その後、スキャンは、第1のパスの最後の位置としての位置で停止する。

## 【 0 0 8 3 】

[00101] パス1の終了後、且つパス2の開始前に、以前のパスの最後の位置に応じて第1のパスバイパス位置変数(iFirstPassBypassPos)が設定され得る(ステップ1604)。いくつかの実施形態では、第1のパスバイパス位置変数は、以前のパスに1を加えた最後の位置に設定され得る。第1のパスバイパス位置変数は、絶対レベル(例えば、dec\_abs\_level)シンタックスが信号化される開始位置を表し得る。スキャン位置が第1のパスバイパス位置よりも小さい係数は、パス1でコンテキスト符号化を介して部分的に信号化され得、残りの係数はパス2(a)で信号化され得る。いくつかの実施形態では、係数のスキャン位置が第1のパスバイパス位置変数以上である場合、その係数のフラグのいずれもコンテキスト符号化されず、完全な係数及び符号は、パス2(b)のバイパス符号化を使用して信号化され得る。

## 【 0 0 8 4 】

[00102] パス2(a)(ステップ1606)では、サブブロックの最初のスキャン位置から開始して第1のパスバイパス位置変数から1を差し引いたロケーションまでの係数がスキャンされ得る。各係数について以下が実行され得る。9より大のフラグが、絶対レベルが9より大であることを示している(例えば、9より大のフラグが1に等しい)場合、残りの絶対レベル(例えば、abs\_remainder)がゴロム・ライス符号を使用して2値化され得、結果として得られるピンが算術符号化エンジンのバイパスモードで符号化され得る。

## 【 0 0 8 5 】

[00103] パス2(b)(ステップ1608)では、第1のパスバイパス位置から開始

して、最後のスキャン位置までの係数がスキャンされ得る。各係数について以下が実行され得る。絶対レベル（例えば、dec\_abs\_level）は、ゴロム・ライス符号で2値化され得、結果として得られるピンは、算術符号化エンジンのバイパスモードで符号化され得る。絶対レベルが0に等しくない場合、係数符号フラグ（例えば、coeff\_sign\_flag）はバイパス符号化され得る。

**【0086】**

[00104] 図16の方法は、エンコーダ（例えば、図1のエンコーダ）によって実施され得ることを理解されたい。いくつかの実施形態では、エンコーダはビデオフレームを受信し得る。図17の方法からの符号化されたビデオフレームは、デコーダ（例えば、図2のデコーダ）を使用して復号され得ることを理解されたい。いくつかの実施形態では、復号方法は2つのパスを含み得る。

10

**【0087】**

[00105] パス1では、サブブロックの係数がスキャンされる。いくつかの実施形態では、サブブロックの最初のスキャン位置から開始して最後のスキャン位置までの各係数がスキャンされる。各係数について、コンテキスト符号化されたピンの残りの数がグループ限度以上である場合、以下が実行され得る。例えば、グループ限度は8とすることができ、パス1で符号化される様々なフラグ（例えば、有意フラグ、係数符号フラグ、1より大のフラグ、パリティレベルフラグ、3より大のフラグ、5より大のフラグ、7より大のフラグ、及び9より大のフラグ）の数を示す。有意フラグ（例えば、sig\_coeff\_flag）がコンテキスト復号され得る。有意フラグが、レベルが非ゼロであることを示している（例えば、有意フラグが1に等しい）場合、係数符号フラグ（例えば、coeff\_sign\_flag）及び1より大のフラグ（例えば、abs\_level\_gtx\_flag[0]）が信号化され得る。1より大のフラグが、絶対レベルが1より大であることを示している（例えば、1より大のフラグが1に等しい）場合、パリティレベルフラグ（例えば、par\_level\_flag）及び3より大のフラグ（例えば、abs\_level\_gtx\_flag[1]）が復号され得る。パリティレベルフラグは、絶対レベルから2を差し引いたパリティを指定し得る。3より大のフラグは、絶対レベルが3より大であるか否かを指定し得る。3より大のフラグが、絶対レベルが3より大であることを示している（例えば、3より大のフラグが1に等しい）場合、5より大のフラグ（例えば、abs\_level\_gtx\_flag[2]）が復号され得る。5より大のフラグが、絶対レベルが5より大であることを示している（例えば、5より大のフラグが1に等しい）場合、7より大のフラグ（例えば、abs\_level\_gtx\_flag[3]）が復号され得る。7より大のフラグが、絶対レベルが7より大であることを示している（例えば、7より大のフラグが1に等しい）場合、9より大のフラグ（例えば、abs\_level\_gtx\_flag[4]）が復号され得る。9より大のフラグは、レベルの絶対レベルが9より大であるか否かを指定し得る。いくつかの実施形態では、係数は、コンテキスト符号化されたピンが最大限度（例えば、図12の黒色の点）に到達するまでスキャンされ得、その後、スキャンは、第1のパスの最後の位置としての位置で停止する。

20

30

**【0088】**

[00106] パス1の終了後、且つパス2の開始前に、以前のパスの最後の位置に応じて第1のパスバイパス位置変数（iFirstPassBypassPos）が設定され得る。いくつかの実施形態では、第1のパスバイパス位置変数は、以前のパスに1を加えた最後の位置に設定され得る。第1のパスバイパス位置変数は、絶対レベル（例えば、dec\_abs\_level）シンタックスが信号化される開始位置を表し得る。スキャン位置が第1のパスバイパス位置よりも小さい係数は、パス1でコンテキスト符号化を介して部分的に信号化され得、残りの係数はパス2（a）で信号化され得る。いくつかの実施形態では、係数のスキャン位置が第1のパスバイパス位置変数以上である場合、その係数のフラグのいずれもコンテキスト復号されず、完全な係数及び符号は、パス2（b）のバイパス復号を使用して信号化され得る。

40

**【0089】**

[00107] パス2（a）では、サブブロックの最初のスキャン位置から開始して第1の

50

パスバイパス位置変数から 1 を差し引いたロケーションまでの係数がスキャンされ得る。各係数について以下が実行され得る。9 より大のフラグが、絶対レベルが 9 より大であることを示している（例えば、9 より大のフラグが 1 に等しい）場合、2 値化された残りの絶対レベル（例えば、abs\_remainder）がゴロム・ライス符号を使用して復号され得、結果として得られるピンが算術符号化エンジンのバイパスモードで復号され得る。

【 0 0 9 0 】

[00108] パス 2 ( b ) では、第 1 のパスバイパス位置から開始して、最後のスキャン位置までの係数がスキャンされ得る。各係数について以下が実行され得る。2 値化された絶対レベル（例えば、dec\_abs\_level）は、ゴロム・ライス符号で復号され得、結果として得られるピンは、算術符号化エンジンのバイパスモードで復号され得る。絶対レベルが 0 に等しくない場合、係数符号フラグ（例えば、coeff\_sign\_flag）はバイパス復号され得る。

10

【 0 0 9 1 】

[00109] 図 1 7 は、本開示のいくつかの実施形態による、図 1 6 の方法のバイパス符号化のシンタックスを含む例示的な擬似コードを示す。図 1 7 の擬似コードの一部はイタリック体で示され、第 1 のパスバイパス位置とパス 2 ( b ) との処理を示している。

【 0 0 9 2 】

[00110] いくつかの実施形態では、図 1 7 に示すように、パス 1 は、コンテキスト符号化されたピンの残りの数が 8 以上（例えば、図 1 7 に示すように「MaxCcbs = 8」）である場合にのみ実行される。このことは、コンテキスト符号化ピンバジェットで最大 7 つのコンテキスト符号化が「浪費」され得、符号化のパフォーマンスに悪影響を与え得ることを意味する。したがって、いくつかの実施形態では、abs\_level\_gtx\_flag[] フラグの数は、開示された 2 パス符号化方法で調整され得る。例えば、9 より大のフラグ（例えば、abs\_level\_gtx\_flag[4]）を符号化する代わりに、7 より大のフラグ（例えば、abs\_level\_gtx\_flag[3]）までしか符号化しない。したがって、コンテキスト符号化されたピンの残りの数が 7 以上である場合にのみ、パス 1 が実行され得る。いくつかの実施形態では、5 より大のフラグ（abs\_level\_gtx\_flag[2]）までしか符号化されない。したがって、コンテキスト符号化されたピンの残りの数が 6 以上である場合にのみ、パス 1 が実行される。abs\_level\_gtx\_flag[] フラグの数は任意の数に調整され得ることを理解されたい。abs\_level\_gtx\_flag[] フラグの数を調整することにより、第 1 の符号化パスでより多くの位置を符号化することができるため、より良好な符号化効率が提供される。

20

30

【 0 0 9 3 】

[00111] いくつかの実施形態では、ライスパラメータ cRiceParam は、以下のようにして導出され得る。スキャンロケーション ( xC , yC ) における係数値としての配列 TransCoeffLevel[xC][yC]、及び最小バイパス符号化値としての値 minLevel を所与として、係数のフラグのいずれもコンテキスト符号化されない場合、その係数の minLevel は 0 である。フラグのすべてがコンテキスト符号化されている場合、minLevel は 1 0 に等しい。変数 locSumAbs は、以下の擬似コードによって指定されるように導出され得る。

```
locSumAbs = 0
if (xC > 0)
    locSumAbs += Abs(TransCoeffLevel[xC - 1][yC])
if (yC > 0)
    locSumAbs += Abs(TransCoeffLevel[xC][yC - 1])
locSumAbs = locSumAbs - 2 * minLevel
locSumAbs = Clip3 (0, 31, LocSumAbs)
```

40

【 0 0 9 4 】

[00112] 図 1 8 は、本開示のいくつかの実施形態による、最小バイパス符号化値が 0 に等しい場合のライスパラメータの例示的なルックアップテーブルを示す。図 1 8 に示すように、ライスパラメータは変数 cRiceParam で表され得る。絶対和のロケーションは、変数 locSumAbs で表され得る。

50

## 【 0 0 9 5 】

[00113] いくつかの実施形態では、2つの別個のルックアップテーブルが、minLevelに基づくライスパラメータの導出に使用され得る。minLevelが0に等しい場合、図18に示すテーブルが使用され得る。minLevelが0に等しくない場合、図13に示すテーブルが使用され得る。

## 【 0 0 9 6 】

[00114] いくつかの実施形態では、ライスパラメータの導出は、ルックアップテーブルを必要としない。例えば、cRiceParamは次のように導出され得る。

```
cRiceParam = (locSumAbs + offset)      3
```

## 【 0 0 9 7 】

[00115] 上記の式では、オフセットは事前定義された定数であり得、オフライントレーニングによって決定され得る。オフセット値の一例は4である。

## 【 0 0 9 8 】

[00116] いくつかの実施形態では、オフセット値は色成分に依存する。例えば、オフセット値は、ルーマの場合は4、クロマの場合は0であり得る。

## 【 0 0 9 9 】

[00117] いくつかの実施形態では、オフセット値はフレームタイプに依存する。例えば、オフセット値は、イントラフレームの場合は4、インターフレームの場合は0であり得る。

## 【 0 1 0 0 】

[00118] いくつかの実施形態では、VVC（例えば、VVC7）では、変換スキップモードは、ルーマ成分とクロマ成分との両方に対して可能であり、両方のタイプの成分が同じコンテキスト変数を共有し得る。コンテキスト変数は、最近復号されたピンを含む式によって、ピンの適応型2値算術復号プロセスに指定された変数であり得る。しかしながら、ルーマブロック及びクロマブロックの信号統計は異なり得る。結果として、本開示のいくつかの実施形態では、異なるコンテキスト変数がルーマ成分及びクロマ成分に使用され得る。提案されたコンテキストモデルの拡張によって影響を受けるシンタックス要素としては、有意係数フラグ（例えば、sig\_coeff\_flag）、abs\_level\_gtx\_flag[n][j]（例えば、j = 0 ~ 4）、パリティフラグ（例えば、par\_level\_flag）、信号係数符号フラグ（例えば、coeff\_sign\_flag）、及びcoded\_sub\_block\_flag（例えば、図3に示すcoded\_sub\_block\_flag）が挙げられる。

## 【 0 1 0 1 】

[00119] VVC（例えば、VVC7）では、3つのコンテキスト変数が、変換スキップモードのsig\_coeff\_flagを符号化するために使用され得る。いくつかの実施形態では、合計6つのコンテキスト変数（例えば、ルーマに3つ、クロマに3つ）が、変換スキップモードのsig\_coeff\_flagを符号化するために使用され得る。変換スキップモードのsig\_coeff\_flagを符号化するためのコンテキストインデックスは、隣（例えば、上隣と左隣）の有意係数の数から導出され得る。いくつかの実施形態では、コンテキストインデックスは、コンテキスト変数の識別子を指し得る。例えば、利用可能なコンテキスト変数が6つある場合、第1のコンテキスト変数のコンテキストインデックスは0、第2のコンテキスト変数のコンテキストインデックスは1などになり得る。このプロセスへの入力は、色成分インデックスcldx、ルーマロケーション(x0, y0)、及び対象の係数スキャンロケーション(xC, yC)であり得る。ルーマロケーション(x0, y0)は、対象の画像の特定のサンプル（例えば、左上サンプル）に対して、対象の変換ブロックの特定のサンプル（例えば、左上サンプル）を指定し得る。このプロセスの出力は、符号化インデックス変数ctxIncであり得る。いくつかの実施形態では、変数ctxIncは、以下の擬似コードにしたがって導出され得る。

```
locNumSig = 0
if (xC == 0)
    locNumSig += sig_coeff_flag[xC - 1][yC]
```

10

20

30

40

50

```

if (yC == 0)
    locNumSig += sig_coeff_flag[xC][yC - 1]
if (cldx == 0) // 例えば、ルーマ成分では、ctxIncは次のように導出され得る。
    ctxInc = locNumSig
else // 例えば、クロマ成分では、ctxIncは次のように導出され得る。
    ctxInc = locNumSig + 3

```

【 0 1 0 2 】

[00120] VVC (例えば、VVC7) では、4つのコンテキスト変数が、変換スキップモードのabs\_level\_gtx\_flag[n][0]を符号化するために使用され得る。いくつかの実施形態では、合計8つのコンテキスト変数(ルーマに4つ及びクロマに4つ)が、変換スキップモードのabs\_level\_gtx\_flag[n][0]を符号化するために使用され得る。変換スキップのabs\_level\_gtx\_flag[n][0]を符号化するためのコンテキストインデックスは、隣(例えば、上隣と左隣)の有意係数の数から導出され得る。このプロセスへの入力は、色成分インデックスcldx、ルーマロケーション(x0, y0)、及び対象の係数スキャンロケーション(xC, yC)であり得る。ルーマロケーション(x0, y0)は、対象の画像の特定のサンプル(例えば、左上サンプル)に対して、対象の変換ブロックの特定のサンプル(例えば、左上サンプル)を指定し得る。このプロセスの出力は、符号化インデックス変数ctxIncであり得る。いくつかの実施形態では、変数ctxIncは、以下の擬似コードにしたがって導出され得る。

```

if (BdpcmFlag[x0][y0][cldx] == 1)
    ctxInc = 3
else if (xC == 0 and yC == 0)
    ctxInc = sig_coeff_flag[xC - 1][yC] + sig_coeff_flag[xC][yC - 1]
else if (xC == 0)
    ctxInc = sig_coeff_flag[xC - 1][yC]
else if (yC == 0)
    ctxInc = sig_coeff_flag[xC][yC - 1]
else
    ctxInc = 0

```

```

if (cldx == 0)
    ctxInc = ctxInc + 4

```

【 0 1 0 3 】

[00121] VVC (例えば、VVC7) では、1つのコンテキスト変数が、変換スキップモードのpar\_level\_flagを符号化するために使用され得る。いくつかの実施形態では、合計2つのコンテキスト変数(ルーマに1つ、クロマに1つ)が、変換スキップモードのpar\_level\_flagを符号化するために使用され得る。変換スキップのpar\_level\_flagを符号化するためのコンテキストインデックスは、次のように導出され得る。このプロセスへの入力は、色成分インデックスcldxであり得る。このプロセスの出力は、符号化インデックス変数ctxIncである。いくつかの実施形態では、変数ctxIncは、以下の擬似コードにしたがって導出され得る。

```

if (cldx == 0)
    ctxInc = 0
else
    ctxInc = 1

```

【 0 1 0 4 】

[00122] いくつかの実施形態では、ルーマとクロマとに別個のコンテキスト変数が、変換スキップモードのabs\_level\_gtx\_flagを符号化するために使用され得る。変換スキップのabs\_level\_gtx\_flagを符号化するためのコンテキストインデックスは、次のように導出され得る。このプロセスへの入力は、色成分インデックスcldxであり得る。このプロセスの出力は、符号化インデックス変数ctxIncであり得る。いくつかの実施形態では、変数

10

20

30

40

50

ctxIncは、以下のように導出され得る。シンタックス要素abs\_level\_gtx\_flag[n][j] (j = 0) のコンテキストインデックスが、ctxInc = j - 1として導出され、クロマ成分（例えば、0より大であるcIdx）については、コンテキストインデックスは、ctxInc = ctxInc + 4のようにインクリメントされる。

【0105】

[00123] VVC（例えば、VVC7）では、6つのコンテキスト変数が、変換スキップモードのcoeff\_sign\_flagを符号化するために使用され得る。いくつかの実施形態では、合計12のコンテキスト変数（ルーマに6つ、クロマに6つ）が、変換スキップモードのcoeff\_sign\_flagを符号化するために使用され得る。変換スキップモードのcoeff\_sign\_flagを符号化するためのコンテキストインデックスは、隣（例えば、上隣と左隣）のcoeff\_sign\_flagから導出され得る。このプロセスへの入力は、色成分インデックスcIdx、ルーマロケーション(x0, y0)、及び対象の係数スキャンロケーション(xC, yC)であり得る。ルーマロケーション(x0, y0)は、対象の画像の特定のサンプル（例えば、左上サンプル）に対して、対象の変換ブロックの特定のサンプル（例えば、左上サンプル）を指定し得る。このプロセスの出力は、符号化インデックス変数ctxIncであり得る。いくつかの実施形態では、変数leftSign及びaboveSignは、以下の擬似コードにしたがって導出され得る。

```

if (xC == 0)
    leftSign = 0
else
    leftSign = CoeffSignLevel[xC - 1][yC]
if (yC == 0)
    aboveSign = 0
else
    aboveSign = CoeffSignLevel[xC][yC - 1]

```

【0106】

[00124] いくつかの実施形態では、変数ctxIncは、以下の擬似コードにしたがって導出され得る。

```

if ((leftSign == 0 and aboveSign == 0) or (leftSign == aboveSign))
    if (BdpcmFlag[x0][y0][cIdx] == 0)
        ctxInc = 0
    else
        ctxInc = 3
else if (leftSign == 0 and aboveSign == 0)
    if (BdpcmFlag[x0][y0][cIdx])
        ctxInc = 1
    else
        ctxInc = 4
else
    if (BdpcmFlag[x0][y0][cIdx])
        ctxInc = 2
    else
        ctxInc = 5
if (cIdx == 0)
    ctxInc = ctxInc + 6

```

【0107】

[00125] VVC（例えば、VVC7）では、3つのコンテキスト変数が、変換スキップモードのcoded\_sub\_block\_flagを符号化するために使用され得る。coded\_sub\_block\_flagは、サブブロックの変換係数レベルが0に等しいか否かを指定するサブブロックフラグであり得る。例えば、coded\_sub\_block\_flag[xS][yS]が0に等しい場合、ロケーシ

オン (  $xS$  ,  $yS$  ) におけるサブブロックの変換係数レベルは 0 に等しいと推測される。  $coded\_sub\_block\_flag[xS][yS]$  が 1 に等しい場合、ロケーション (  $xS$  ,  $yS$  ) におけるサブブロックの変換係数レベルの少なくとも 1 つが非ゼロ値を有する。いくつかの実施形態では、合計 6 つのコンテキスト変数 ( ルーマに 3 つ、クロマに 3 つ ) が、変換スキップモードの  $coded\_sub\_block\_flag$  を符号化するために使用され得る。変換スキップモードの  $coded\_sub\_block\_flag$  を符号化するためのコンテキストインデックスは、上隣と左隣の  $coded\_sub\_block\_flag$  から導出され得る。このプロセスへの入力は、色成分インデックス  $cIdx$ 、ルーマロケーション (  $x0$  ,  $y0$  )、対象のサブブロックスキャンロケーション (  $xS$  ,  $yS$  )、シンタックス要素  $coded\_sub\_block\_flag$  の以前に復号されたピン、変換ブロック幅の 2 進対数  $\log_2 TbWidth$ 、及び変換ブロック高さ  $\log_2 TbHeight$  であり得る。ルーマロケーション (  $x0$  ,  $y0$  ) は、対象の画像の左上サンプルに対して、対象の変換ブロックの左上サンプルを指定し得る。このプロセスの出力は、符号化インデックス変数  $ctxInc$  であり得る。いくつかの実施形態では、変数  $\log_2 SbWidth$  及び  $\log_2 SbHeight$  は、以下の擬似コードにしたがって導出され得る。

```
if (minimum (log2TbWidth, log2TbHeight) > 2)
    log2SbWidth = 1
```

```
else
    log2SbHeight = log2SbWidth
```

【 0 1 0 8 】

[00126] いくつかの実施形態では、変数  $\log_2 SbWidth$  及び  $\log_2 SbHeight$  は、以下の擬似コードにしたがって修正され得る。

```
if (log2TbWidth > 2 and cIdx == 0)
    log2SbWidth = log2TbWidth
    log2SbHeight = 4 - log2SbWidth
else if (log2TbHeight > 2 and cIdx == 0)
    log2SbHeight = log2TbHeight
    log2SbWidth = 4 - log2SbHeight
```

【 0 1 0 9 】

[00127] いくつかの実施形態では、変数  $csbfCtx$  は、0 として初期化され、以下の擬似コードにしたがって修正され得る。

```
if (xS > 0)
    csbfCtx = csbfCtx + coded_sub_block_flag[xS - 1][yS]
if (yS > 0)
    csbfCtx = csbfCtx + coded_sub_block_flag[xS][yS - 1]
```

【 0 1 1 0 】

[00128] いくつかの実施形態では、コンテキストインデックス変数  $ctxInc$  は、以下の擬似コードにしたがって、色成分インデックス  $cIdx$  及び  $csbfCtx$  を使用して導出され得る。

```
if (cIdx == 0)
    ctxInc = csbfCtx
else
    ctxInc = 3 + csbfCtx
```

【 0 1 1 1 】

[00129] いくつかの実施形態では、命令を含む非一時的コンピュータ可読記憶媒体も提供され、命令は、上記の方法を実行するためのデバイス ( 開示されているエンコーダ及びデコーダなど ) によって実行され得る。非一時的媒体の一般的な形態としては、例えば、フロッピー ( 登録商標 ) ディスク、フレキシブルディスク、ハードディスク、ソリッドステートドライブ、磁気テープ、又は任意の他の磁気データ記憶媒体、CD-ROM、任意の他の光学データ記憶媒体、孔のパターンを持つ任意の物理媒体、RAM、PROM、及び EPROM、FLASH ( 登録商標 ) - EPROM 又は任意の他のフラッシュメモリ、NVRAM、キャッシュ、レジスタ、任意の他のメモリチップ又はカートリッジ、並び

10

20

30

40

50

にそれらのネットワークバージョンが挙げられる。デバイスは、1つ又は複数のプロセッサ（CPU）、入出力インターフェース、ネットワークインターフェース、及び/又はメモリを備え得る。

【0112】

[00130] 本明細書において、「第1」及び「第2」などの関係用語は、エンティティ又は動作を別のエンティティ又は動作から区別するためにのみ使用され、これらのエンティティ又は動作の間のいかなる実際の関係又は順序をも必要としたり示唆したりするものではないことに留意されたい。更に、「含む/備える（comprising）」、「有する（having）」、「含む（containing）」、及び「含む/備える（including）」の単語、並びに他の同様の形態は、意味において均等であり、これらの単語のいずれか1つに続く1つ又は複数の項目が、そのような1つ若しくは複数の項目の網羅的な列挙であることを意味しない、又は列挙された1つ若しくは複数の項目のみに限定されることを意味しないという点でオープンエンドであることが意図されている。

10

【0113】

[00131] 本明細書で使用される場合、特に別段の記載のない限り、「又は」という用語は、実行不可能な場合を除いて、すべての可能な組み合わせを包含する。例えば、データベースがA又はBを含み得ると記載されている場合、特に別段の記載のない限り、又は実行不可能でない限り、データベースは、A、又はB、又はA及びBを含み得る。別の例として、データベースがA、B、又はCを含み得ると記載されている場合、特に別段の記載のない限り、又は実行不可能でない限り、データベースは、A、又はB、又はC、又はA及びB、又はA及びC、又はB及びC、又はA及びB及びCを含み得る。

20

【0114】

[00132] 上記の実施形態は、ハードウェア、又はソフトウェア（プログラムコード）、又はハードウェアとソフトウェアとの組み合わせによって実装され得ることを理解されたい。ソフトウェアによって実装される場合、ソフトウェアは上記のコンピュータ可読媒体に格納され得る。ソフトウェアは、プロセッサによって実行されると、開示された方法を実行し得る。本開示で説明されるコンピューティングユニット及び他の機能ユニットは、ハードウェア、又はソフトウェア、又はハードウェアとソフトウェアとの組み合わせによって実装され得る。また、上記のモジュール/ユニットのうちの複数が1つのモジュール/ユニットとして組み合わせられてもよく、上記のモジュール/ユニットのそれぞれが複数のサブモジュール/サブユニットに更に分割されてもよいことが当業者には理解されよう。

30

【0115】

[00133] 上記明細書では、実装形態ごとに变化し得る多数の具体的な詳細を参照して実施形態を説明してきた。説明された実施形態に対して、ある程度の適合及び修正を行うことができる。当業者であれば、本明細書を検討すれば、また本明細書に開示される本発明を実施することにより、他の実施形態を想到し得る。本明細書及び各例は単なる例示として見なされ、本発明の真の範囲及び趣旨は以下の特許請求の範囲によって示されることが意図されている。また、図に示されている一連の工程は、説明のみを目的としており、いかなる特定の一連の工程にも限定されるように意図されていないことも意図されている。そのため、同じ方法を実施しながら、これらの工程を異なる順序で実行し得ることを当業者は理解されよう。

40

【0116】

[00134] 以下の条項を使用して実施形態を更に説明することができる。

1.

ビデオデータのエンコーダによって実施される符号化方法であって、ビデオフレームのサブブロックの変換係数をスキャンする第1のパスを実行することを含み、

スキャンする第1のパスが、変換係数のパリティレベルフラグをバイパス符号化することを含み、パリティレベルフラグが変換係数のレベルの絶対値のパリティを示す、

50

符号化方法。

2 .

スキャンする第 1 のパスの前に、変換係数をスキャンする第 2 のパスを実行することを更に含み、

スキャンする第 2 のパスが、1 より大のフラグを符号化することを含み、1 より大のフラグが、絶対値が 1 より大であるか否かを示し、

スキャンする第 1 のパスが、1 より大のフラグが、絶対値が 1 より大であると示すことに応じて、パリティレベルフラグをバイパス符号化することを更に含む、

条項 1 に記載の符号化方法。

3 .

サブブロックが複数の変換係数を有し、スキャンする第 2 のパスを実行することが、コンテキスト符号化されたピンの数が最大限度に到達するまで、複数の変換係数をスキャンすることと、

コンテキスト符号化されたピンの数が最大限度に到達したことに応じて、第 2 のパスでスキャンされない変換係数のレベルの絶対値をバイパス符号化することであって、バイパス符号化することが、ゴロム・ライス符号化を使用してスキャンされない変換係数の絶対値を 2 値化することを含む、ことと

を更に含む、条項 2 に記載の符号化方法。

4 .

スキャンする第 2 のパスが、変換係数の有意フラグを符号化することであって、有意フラグが、変換係数のレベルがゼロであるか否かを示す、ことと、

有意フラグが、変換係数のレベルがゼロではないと示すことに応じて、1 より大のフラグを符号化することと

を更に含む、条項 2 又は 3 に記載の符号化方法。

5 .

スキャンする第 2 のパスが、1 より大のフラグが、絶対値が 1 より大であると示すことに応じて、変換係数の 3 より大のフラグを符号化することを更に含み、3 より大のフラグが、絶対値が 3 より大であるか否かを示す、

条項 2 ~ 4 のいずれか一項に記載の符号化方法。

6 .

スキャンする第 2 のパスの後、且つスキャンする第 1 のパスの前に、変換係数をスキャンする第 3 のパスを実行することを更に含み、

スキャンする第 3 のパスが、3 より大のフラグが、絶対値が 3 より大であると示すことに応じて、変換係数の 5 より大のフラグを符号化することであって、5 より大のフラグが、絶対値が 5 より大であるか否かを示す、ことと、

5 より大のフラグが、絶対値が 5 より大であると示すことに応じて、変換係数の 7 より大のフラグを符号化することであって、7 より大のフラグが、絶対値が 7 より大であるか否かを示す、ことと、

7 より大のフラグが、絶対値が 7 より大であると示すことに応じて、変換係数の 9 より大のフラグを符号化することであって、9 より大のフラグが、絶対値が 9 より大であるか否かを示す、ことと

を含む、こと

条項 5 に記載の符号化方法。

7 .

スキャンする第 1 のパスが、9 より大のフラグが、絶対値が 9 より大であると示すことに応じて、変換係数の残りの絶対レベルフラグを符号化することを更に含み、残りの絶対レベルフラグが、変換係数

10

20

30

40

50

のレベルの残りの絶対値を示す、

条項 6 に記載の符号化方法。

8 .

スキャンする第 2 のパスの後、且つスキャンする第 1 のパスの前に、変換係数をスキャンする第 3 のパスを実行することを更に含み、

スキャンする第 3 のパスが、

1 より大のフラグが、絶対値が 1 より大であると示すことに応じて、変換係数の 3 より大のフラグを符号化することであって、3 より大のフラグが、絶対値が 3 より大であるか否かを示す、こと

を更に含む、

条項 2 に記載の符号化方法。

9 .

スキャンする第 3 のパスが、

3 より大のフラグが、絶対値が 3 より大であると示すことに応じて、変換係数の 5 より大のフラグを符号化することであって、5 より大のフラグが、絶対値が 5 より大であるか否かを示す、ことと、

5 より大のフラグが、絶対値が 5 より大であると示すことに応じて、変換係数の 7 より大のフラグを符号化することであって、7 より大のフラグが、絶対値が 7 より大であるか否かを示す、ことと、

7 より大のフラグが、絶対値が 7 より大であると示すことに応じて、変換係数の 9 より大のフラグを符号化することであって、9 より大のフラグが、絶対値が 9 より大であるか否かを示す、ことと

を更に含む、条項 8 に記載の符号化方法。

10 .

スキャンする第 1 のパスが、

9 より大のフラグが、絶対値が 9 より大であると示すことに応じて、変換係数の残りの絶対レベルフラグを符号化することを更に含み、残りの絶対レベルフラグが、変換係数のレベルの残りの絶対値を示す、

条項 9 に記載の符号化方法。

11 .

サブブロックが複数の変換係数を有し、スキャンする第 1 のパスが、逆の順序で複数の変換係数をスキャンすることによって実行される、条項 1 ~ 10 のいずれか一項に記載の符号化方法。

12 .

スキャンする第 1 のパスを実行することの前に、複数の変換係数を反転すること

を更に含む、条項 11 に記載の符号化方法。

13 .

符号化方法が変換スキップ残差符号化方法である、条項 1 ~ 12 のいずれか一項に記載の符号化方法。

14 .

ビデオフレームを受信することと、

ビデオフレームを複数のサブブロックに分割することと

を更に含む、条項 1 ~ 13 のいずれか一項に記載の符号化方法。

15 .

ビデオデータのデコーダによって実施される復号方法であって、

ビデオフレームのサブブロックの変換係数をスキャンする第 1 のパスを実行することを含み、

スキャンする第 1 のパスが、変換係数のパリティレベルフラグをバイパス復号することを含み、パリティレベルフラグが変換係数のレベルの絶対値のパリティを示す、

復号方法。

10

20

30

40

50

16 .

スキャンする第1のパスの前に、変換係数をスキャンする第2のパスを実行することを更に含み、

スキャンする第2のパスが、1より大のフラグを復号することを含み、1より大のフラグが、絶対値が1より大であるか否かを示し、

スキャンする第1のパスが、1より大のフラグが、絶対値が1より大であると示すことに応じて、第1のパスにおいてパリティレベルフラグをバイパス復号することを更に含む、条項15に記載の復号方法。

17 .

スキャンする第2のパスが、

変換係数の有意フラグを復号することであって、有意フラグが、変換係数のレベルがゼロであるか否かを示す、ことと、

有意フラグが、変換係数のレベルがゼロではないと示すことに応じて、1より大のフラグを復号することと

を更に含む、条項16に記載の復号方法。

18 .

スキャンする第1のパスが、

1より大のフラグが、絶対値が1より大であると示すことに応じて、変換係数の3より大のフラグを復号することであって、3より大のフラグが、絶対値が3より大であるか否かを示す、ことと、

3より大のフラグが、絶対値が3より大であると示すことに応じて、変換係数の5より大のフラグを復号することであって、5より大のフラグが、絶対値が5より大であるか否かを示す、ことと、

5より大のフラグが、絶対値が5より大であると示すことに応じて、変換係数の7より大のフラグを復号することであって、7より大のフラグが、絶対値が7より大であるか否かを示す、ことと、

7より大のフラグが、絶対値が7より大であると示すことに応じて、変換係数の9より大のフラグを復号することであって、9より大のフラグが、絶対値が9より大であるか否かを示す、ことと

を更に含む、条項16に記載の復号方法。

19 .

変換係数をスキャンする第3のパスを実行することを更に含み、

スキャンする第3のパスが、9より大のフラグが、絶対値が9より大であると示すことに応じて、変換係数の残りの絶対レベルフラグを復号することを含み、残りの絶対レベルフラグが、変換係数のレベルの残りの絶対値を示す、

条項18に記載の復号方法。

20 .

サブブロックが複数の変換係数を有し、

スキャンする第1のパスが、サブブロックの右下隅からサブブロックの左上隅まで複数の変換係数をスキャンすることによって実行される、条項15に記載の復号方法。

21 .

スキャンする第1のパスを実行することの前に、複数の変換係数を反転することを更に含む、条項20に記載の復号方法。

22 .

復号方法が変換スキップ残差復号方法である、条項15～21のいずれか一項に記載の復号方法。

23 .

ビデオデータを符号化するシステムであって、本システムが、

一組の命令を格納するメモリと、

プロセッサとを備え、プロセッサが、一組の命令を実行して、

10

20

30

40

50

ビデオフレームのサブブロックの変換係数をスキャンする第1のパスを実行することをシステムに行わせるように構成され、

スキャンする第1のパスが、変換係数のパリティレベルフラグをバイパス符号化することを含み、パリティレベルフラグが変換係数のレベルの絶対値のパリティを示す、ビデオデータを符号化するシステム。

24.

ビデオデータを復号するシステムであって、本システムが、

一組の命令を格納するメモリと、

プロセッサとを備え、プロセッサが、一組の命令を実行して、

ビデオフレームのサブブロックの変換係数をスキャンする第1のパスを実行することをシステムに行わせるように構成され、

スキャンする第1のパスが、変換のパリティレベルフラグを復号することを含み、パリティレベルフラグが変換係数のレベルの絶対値のパリティを示す、

ビデオデータを復号するシステム。

25.

ビデオデータのエンコーダによって実施される符号化方法であって、

ビデオフレームのサブブロックの変換係数をスキャンする第1のパスを実行することと、ブロックの変換係数をスキャンする第2のパスを実行することとを含み、

スキャンする第1のパスを実行することが、コンテキスト符号化されたピンの数が最大限度に到達すると停止され、

サブブロックの変換係数の第1のセットが第1のパスでスキャンされ、

スキャンする第1のパスが、変換係数の第1のセットのそれぞれについて、変換係数のレベルがゼロであるか否かを示す有意フラグを符号化することを含み、

スキャンする第2のパスが、変換係数の第2のセットのそれぞれについてレベルの絶対値を2値化することを含み、変換係数の第2のセットが第1のパスでスキャンされない、符号化方法。

26.

スキャンする第1のパスが、

第1の変換係数の有意フラグが、第1の変換係数のレベルがゼロではないと示すことに応じて、第1の変換係数の1より大のフラグを符号化することを更に含み、第1の変換係数が、変換係数の第1のセットの1つであり、1より大のフラグが、第1の変換係数のレベルの絶対値が1より大であるか否かを示す、

条項25に記載の符号化方法。

27.

スキャンする第1のパスが、

1より大のフラグが、第1の変換係数のレベルの絶対値が1より大であると示すことに応じて、第1の変換係数の3より大のフラグを符号化することであって、3より大のフラグが、第1の変換係数のレベルの絶対値が3より大であるか否かを示し、スキャンする第1のパスを実行することが、残りのコンテキスト符号化されたピンの数がグループ限度未満である場合に停止される、ことと、

3より大のフラグが、第1の変換係数のレベルの絶対値が3より大であると示すことに応じて、第1の変換係数の5より大のフラグを符号化することであって、5より大のフラグが、第1の変換係数のレベルの絶対値が5より大であるか否かを示す、ことと、

5より大のフラグが、第1の変換係数のレベルの絶対値が5より大であると示すことに応じて、第1の変換係数の7より大のフラグを符号化することであって、7より大のフラグが、第1の変換係数のレベルの絶対値が7より大であるか否かを示す、ことと、

7より大のフラグが、第1の変換係数のレベルの絶対値が7より大であると示すことに応じて、第1の変換係数の9より大のフラグを符号化することであって、9より大のフラグが、第1の変換係数のレベルの絶対値が9より大であるか否かを示す、ことと

を更に含む、条項26に記載の符号化方法。

10

20

30

40

50

28 .

スキャンする第2のパスが、

9より大のフラグが、第1の変換係数のレベルの絶対値が9より大であると示すことに応じて、第1の変換係数の残りの絶対レベルフラグを符号化することによって、残りの絶対レベルフラグが、第1の変換係数のレベルの残りの絶対値を示す、ことを更に含む、条項27に記載の符号化方法。

29 .

第1のパス及び第2のパスのそれぞれが、逆の順序でサブブロックの変換係数をスキャンすることによって実行される、条項25～28のいずれか一項に記載の符号化方法。

30 .

第1のパスを実行することの前に、サブブロックの変換係数を反転することを更に含む、条項29に記載の符号化方法。

31 .

符号化方法が変換スキップ残差符号化方法である、条項25～30のいずれか一項に記載の符号化方法。

32 .

変換係数の第2のセットのそれぞれについてレベルの絶対値を2値化することが、ゴロム・ライス符号を使用して絶対値を2値化することを更に含む、条項25～31のいずれか一項に記載の符号化方法。

33 .

ビデオデータのデコーダによって実施される復号方法であって、ビデオフレームのサブブロックの変換係数をスキャンする第1のパスを実行することと、サブブロックの変換係数をスキャンする第2のパスを実行することとを含み、スキャンする第1のパスを実行することが、コンテキスト符号化されたピンの数が最大限度に到達すると停止され、サブブロックの変換係数の第1のセットが第1のパスでスキャンされ、スキャンする第1のパスが、変換係数の第1のセットのそれぞれについて、変換係数のレベルがゼロであるか否かを示す有意フラグを復号することを含み、スキャンする第2のパスが、変換係数の第2のセットのそれぞれについてレベルの2値化された絶対値を復号することを含み、変換係数の第2のセットが第1のパスでスキャンされない、復号方法。

34 .

スキャンする第1のパスが、

第1の変換係数の有意フラグが、第1の変換係数のレベルがゼロではないと示すことに応じて、第1の変換係数の1より大のフラグを復号することによって、第1の変換係数が、変換係数の第1のセットの1つであり、1より大のフラグが、第1の変換係数のレベルの絶対値が1より大であるか否かを示す、ことを更に含む、条項33に記載の復号方法。

35 .

スキャンする第1のパスが、

1より大のフラグが、第1の変換係数のレベルの絶対値が1より大であると示すことに応じて、第1の変換係数の3より大のフラグを復号することによって、3より大のフラグが、スキャンされている第1の変換係数のレベルの絶対値が3より大であるか否かを示し、スキャンする第1のパスを実行することが、残りのコンテキスト符号化されたピンの数がグループ限度未満である場合に停止される、ことと、

3より大のフラグが、第1の変換係数のレベルの絶対値が3より大であると示すことに応じて、第1の変換係数のそれぞれの5より大のフラグを復号することによって、5より大のフラグが、第1の変換係数のレベルの絶対値が5より大であるか否かを示す、ことと、

10

20

30

40

50

5より大のフラグが、第1の変換係数のレベルの絶対値が5より大であると示すことに応じて、第1の変換係数のそれぞれの7より大のフラグを復号することであって、7より大のフラグが、第1の変換係数のレベルの絶対値が7より大であるか否かを示す、ことと、

7より大のフラグが、第1の変換係数のレベルの絶対値が7より大であると示すことに応じて、第1の変換係数のそれぞれの9より大のフラグを復号することであって、9より大のフラグが、第1の変換係数のレベルの絶対値が9より大であるか否かを示す、こととを更に含む、条項34に記載の復号方法。

36.

スキャンする第2のパスが、

9より大のフラグが、スキャンされている第1の変換係数のレベルの絶対値が9より大であると示すことに応じて、第1の変換係数の残りの絶対レベルフラグを復号することであって、残りの絶対レベルフラグが、第1の変換係数のレベルの残りの絶対値を示す、ことと

を更に含む、条項35に記載の復号方法。

37.

符号化方法が変換スキップ残差符号化方法である、条項33～36のいずれか一項に記載の復号方法。

38.

変換係数の第2のセットのそれぞれのレベルの2値化された絶対値を復号することが、ゴロム・ライス符号を使用して絶対値を復号することを更に含む、条項9～13のいずれか一項に記載の復号方法。

39.

ビデオデータを符号化するシステムであって、本システムが、

一組の命令を格納するメモリと、

プロセッサとを備え、プロセッサが、一組の命令を実行して、

ビデオフレームのサブブロックの変換係数をスキャンする第1のパスを実行することと、

サブブロックの変換係数をスキャンする第2のパスを実行することとをシステムに行わせるように構成され、

スキャンする第1のパスを実行することが、コンテキスト符号化されたピンの数が最大限度に到達すると停止され、

サブブロックの変換係数の第1のセットが第1のパスでスキャンされ、

スキャンする第1のパスが、変換係数の第1のセットのそれぞれについて、変換係数のレベルがゼロであるか否かを示す有意フラグを符号化することを含み、

スキャンする第2のパスが、変換係数の第2のセットのそれぞれのレベルの絶対値を2値化することを含み、変換係数の第2のセットが第1のパスでスキャンされない、

ビデオデータを符号化するシステム。

40.

ビデオデータを復号するシステムであって、本システムが、

一組の命令を格納するメモリと、

プロセッサとを備え、プロセッサが、一組の命令を実行して、

ビデオフレームのサブブロックの変換係数をスキャンする第1のパスを実行することと、

サブブロックの変換係数をスキャンする第2のパスを実行することとをシステムに行わせるように構成され、

スキャンする第1のパスを実行することが、コンテキスト符号化されたピンの数が最大限度に到達すると停止され、

サブブロックの変換係数の第1のセットが第1のパスでスキャンされ、

スキャンする第1のパスが、変換係数の第1のセットのそれぞれについて、変換係数

10

20

30

40

50

のレベルがゼロであるか否かを示す有意フラグを復号することを含み、

スキャンする第2のパスが、変換係数の第2のセットのそれぞれのレベルの2値化された絶対値を復号することを含み、変換係数の第2のセットが第1のパスでスキャンされない、

ビデオデータを復号するシステム。

4 1 .

ビデオフレームのルーマ成分のコンテキスト変数の第1のセットを生成することと、ビデオフレームのクロマ成分のコンテキスト変数の第2のセットを生成することと、ビデオフレームのサブブロックを生成することと、コンテキスト変数の第1のセットとコンテキスト変数の第2のセットとにしたがってサブブロックの変換係数の第1のセットを符号化することとを含む、ビデオデータのエンコーダによって実施される符号化方法。

10

4 2 .

変換係数の第1のセットを符号化することが、コンテキスト変数の第1のセットからの3つのコンテキスト変数とコンテキスト変数の第2のセットからの3つのコンテキスト変数とにしたがって、変換係数の第1のセットの変換係数の有意フラグを符号化することを含み、有意フラグが、変換係数のレベルがゼロであるか否かを示す、

条項4 1に記載の符号化方法。

4 3 .

コンテキスト変数の第1のセットからの3つのコンテキスト変数と、コンテキスト変数の第2のセットからの3つのコンテキスト変数とを生成することを更に含み、生成することが、色成分インデックスと、ビデオフレームに対するサブブロックのロケーションを指定するルーマロケーションと、対象の係数スキャンロケーションとに基づく、

条項4 2に記載の符号化方法。

20

4 4 .

変換係数の第1のセットを符号化することが、コンテキスト変数の第1のセットからの4つのコンテキスト変数とコンテキスト変数の第2のセットからの4つのコンテキスト変数とにしたがって、変換係数の第1のセットの変換係数のxより大のフラグを符号化することを含み、xより大のフラグが、変換係数のレベルの絶対値がxより大であるか否かを示す、

条項4 1 ~ 4 3のいずれか一項に記載の符号化方法。

30

4 5 .

コンテキスト変数の第1のセットからの4つのコンテキスト変数と、コンテキスト変数の第2のセットからの4つのコンテキスト変数とを生成することを更に含み、生成することが、色成分インデックスと、ビデオフレームに対するサブブロックのロケーションを指定するルーマロケーションと、対象の係数スキャンロケーションとに基づく、

条項4 4に記載の符号化方法。

4 6 .

変換係数の第1のセットを符号化することが、コンテキスト変数の第1のセットからの1つのコンテキスト変数とコンテキスト変数の第2のセットからの1つのコンテキスト変数とにしたがって、変換係数の第1のセットの変換係数のパリティフラグを符号化することを含み、パリティフラグが、変換係数のレベルの絶対値のパリティであることを示す、

条項4 1 ~ 4 5のいずれか一項に記載の符号化方法。

40

4 7 .

色成分インデックスにしたがって、コンテキスト変数の第1のセットからの1つのコンテキスト変数と、コンテキスト変数の第2のセットからの1つのコンテキスト変数とを生成すること

を更に含む、条項4 6に記載の符号化方法。

50

48 .

変換係数の第1のセットを符号化することが、

コンテキスト変数の第1のセットからの6つのコンテキスト変数とコンテキスト変数の第2のセットからの6つのコンテキスト変数とにしたがって、変換係数の第1のセットの変換係数の係数符号フラグを符号化することを含み、係数符号フラグが、変換係数の値の符号を示す、

条項41～47のいずれか一項に記載の符号化方法。

49 .

コンテキスト変数の第1のセットからの6つのコンテキスト変数と、コンテキスト変数の第2のセットからの6つのコンテキスト変数とを生成することを更に含み、生成することが、ビデオフレームに隣接するビデオフレームの有意係数の数と、ビデオフレームに対するサブブロックのロケーションを指定するルーマロケーションと、対象の係数スキャンロケーションとに基づく、

条項48に記載の方法。

50 .

変換係数の第1のセットを符号化することが、

コンテキスト変数の第1のセットからの3つのコンテキスト変数とコンテキスト変数の第2のセットからの3つのコンテキスト変数とにしたがって、変換係数の第1のセットの変換係数のサブブロックフラグを符号化すること

を含む、条項41～49のいずれか一項に記載の方法。

51 .

コンテキスト変数の第1のセットからの3つのコンテキスト変数と、コンテキスト変数の第2のセットからの3つのコンテキスト変数とを生成することを更に含み、生成することが、ビデオフレームに隣接するビデオフレームの有意係数の数と、ビデオフレームに対するサブブロックのロケーションを指定するルーマロケーションと、対象の係数スキャンロケーションとに基づく、

条項50に記載の方法。

52 .

ビデオビットストリームを受信することと、

ビデオビットストリームを複数のサブブロックに分割することと、

サブブロックのルーマ成分のコンテキスト変数の第1のセットを生成することと、

サブブロックのクロマ成分のコンテキスト変数の第2のセットを生成することと、

コンテキスト変数の第1のセットとコンテキスト変数の第2のセットとにしたがってサブブロックの変換係数の第1のセットをコンテキスト符号化することと

を含む、ビデオ処理方法。

53 .

ビデオフレームを受信することと、

ビデオフレームを複数のサブブロックに分割することと、

ビデオフレームのルーマ成分のコンテキスト変数の第1のセットを生成することと、

ビデオフレームのクロマ成分のコンテキスト変数の第2のセットを生成することと、

コンテキスト変数の第1のセットとコンテキスト変数の第2のセットとにしたがってサブブロックの変換係数の第1のセットを復号することと

を含む、ビデオデータのデコードによって実施される復号方法。

54 .

変換係数の第1のセットを復号することが、

コンテキスト変数の第1のセットからの3つのコンテキスト変数とコンテキスト変数の第2のセットからの3つのコンテキスト変数とにしたがって、変換係数の第1のセットの変換係数の有意フラグを復号することを含み、有意フラグが、変換係数のレベルがゼロであるか否かを示す、

条項53に記載の復号方法。

10

20

30

40

50

55 .

コンテキスト変数の第1のセットからの3つのコンテキスト変数と、コンテキスト変数の第2のセットからの3つのコンテキスト変数とを生成することを更に含み、生成することが、色成分インデックスと、ビデオフレームの左上サンプルに対する対象の変換ブロックの左上サンプルを指定するルーマロケーションと、対象の係数スキャンロケーションとに基づく、

条項54に記載の復号方法。

56 .

変換係数の第1のセットを復号することが、

コンテキスト変数の第1のセットからの4つのコンテキスト変数とコンテキスト変数の第2のセットからの4つのコンテキスト変数とにしたがって、変換係数の第1のセットの変換係数のxより大のフラグを復号すること

を含む、条項53～55のいずれか一項に記載の復号方法。

57 .

コンテキスト変数の第1のセットからの4つのコンテキスト変数と、コンテキスト変数の第2のセットからの4つのコンテキスト変数とを生成することを更に含み、生成することが、色成分インデックスと、ビデオフレームの左上サンプルに対する対象の変換ブロックの左上サンプルを指定するルーマロケーションと、対象の係数スキャンロケーションとに基づく、

条項56に記載の復号方法。

58 .

変換係数の第1のセットを復号することが、

コンテキスト変数の第1のセットからの1つのコンテキスト変数とコンテキスト変数の第2のセットからの1つのコンテキスト変数とにしたがって、変換係数の第1のセットの変換係数のパリティフラグを復号すること

を含む、条項53～57のいずれか一項に記載の復号方法。

59 .

コンテキスト変数の第1のセットからの1つのコンテキスト変数と、コンテキスト変数の第2のセットからの1つのコンテキスト変数とを生成することを更に含み、生成することが、色成分インデックスに基づく、

条項58に記載の復号方法。

60 .

変換係数の第1のセットを復号することが、

コンテキスト変数の第1のセットからの6つのコンテキスト変数とコンテキスト変数の第2のセットからの6つのコンテキスト変数とにしたがって、変換係数の第1のセットの変換係数のコンテキスト係数符号フラグを復号すること

を含む、条項53～59のいずれか一項に記載の復号方法。

61 .

コンテキスト変数の第1のセットからの6つのコンテキスト変数と、コンテキスト変数の第2のセットからの6つのコンテキスト変数とを生成することを更に含み、生成することが、ビデオフレームの上隣と左隣とのビデオフレームの有意係数の数と、ビデオフレームの左上サンプルに対する対象の変換ブロックの左上サンプルを指定するルーマロケーションと、対象の係数スキャンロケーションとに基づく、

条項60に記載の復号方法。

62 .

変換係数の第1のセットを復号することが、

コンテキスト変数の第1のセットからの3つのコンテキスト変数とコンテキスト変数の第2のセットからの3つのコンテキスト変数とにしたがって、変換係数の第1のセットの変換係数のサブブロックフラグを復号すること

を含む、条項53～61のいずれか一項に記載の復号方法。

10

20

30

40

50

63.

コンテキスト変数の第1のセットからの3つのコンテキスト変数と、コンテキスト変数の第2のセットからの3つのコンテキスト変数とを生成することを更に含み、生成することが、ビデオフレームの上隣と左隣とのビデオフレームの有意係数の数と、ビデオフレームの左上サンプルに対する対象変換ブロックの左上サンプルを指定するルーマロケーションと、対象の係数スキャンロケーションとに基づく、

条項62に記載の復号方法。

64.

ビデオデータを符号化するシステムであって、本システムが、  
一組の命令を格納するメモリと、  
プロセッサとを備え、プロセッサが、一組の命令を実行して、  
ビデオフレームのルーマ成分のコンテキスト変数の第1のセットを生成することと、  
ビデオフレームのクロマ成分のコンテキスト変数の第2のセットを生成することと、  
ビデオフレームのサブブロックを生成することと、  
コンテキスト変数の第1のセットとコンテキスト変数の第2のセットとにしたがってサブブロックの変換係数の第1のセットを符号化することと

をシステムに行わせるように構成される、

ビデオデータを符号化するシステム。

65.

ビデオデータを復号するシステムであって、本システムが、  
一組の命令を格納するメモリと、  
プロセッサとを備え、プロセッサが、一組の命令を実行して、  
ビデオフレームを受信することと、  
ビデオフレームを複数のサブブロックに分割することと、  
ビデオフレームのルーマ成分のコンテキスト変数の第1のセットを生成することと、  
ビデオフレームのクロマ成分のコンテキスト変数の第2のセットを生成することと、  
コンテキスト変数の第1のセットとコンテキスト変数の第2のセットとにしたがってサブブロックの変換係数の第1のセットを復号することと

をシステムに行わせるように構成される、

ビデオデータを復号するシステム。

66.

一組の命令を格納する非一時的コンピュータ可読媒体であって、一組の命令は、ビデオデータを符号化するための方法を装置に開始させるように、装置の1つ又は複数のプロセッサによって実行可能であり、本方法が、

ビデオフレームのサブブロックの変換係数をスキャンする第1のパスを実行することを含み、

スキャンする第1のパスが、変換係数のパリティレベルフラグをバイパス符号化することを含み、パリティレベルフラグが変換係数のレベルの絶対値のパリティを示す、

非一時的コンピュータ可読媒体。

67.

一組の命令を格納する非一時的コンピュータ可読媒体であって、一組の命令が、ビデオデータを復号するための方法を装置に開始させるように、装置の1つ又は複数のプロセッサによって実行可能であり、本方法が、

ビデオフレームのサブブロックの変換係数をスキャンする第1のパスを実行することを含み、

スキャンする第1のパスが、変換係数のパリティレベルフラグをバイパス復号することを含み、パリティレベルフラグが変換係数のレベルの絶対値のパリティを示す、

非一時的コンピュータ可読媒体。

68.

一組の命令を格納する非一時的コンピュータ可読媒体であって、一組の命令が、ビデオ

10

20

30

40

50

データを符号化するための方法を装置に開始させるように、装置の1つ又は複数のプロセッサによって実行可能であり、本方法が、

ビデオフレームのサブブロックの変換係数をスキャンする第1のパスを実行することと、

サブブロックの変換係数をスキャンする第2のパスを実行することとを含み、

スキャンする第1のパスを実行することが、コンテキスト符号化されたピンの数が最大限度に到達すると停止され、

サブブロックの変換係数の第1のセットが第1のパスでスキャンされ、

スキャンする第1のパスが、変換係数の第1のセットのそれぞれについて、変換係数のレベルがゼロであるか否かを示す有意フラグを符号化することを含み、

スキャンする第2のパスが、変換係数の第2のセットのそれぞれのレベルの絶対値を2値化することを含み、変換係数の第2のセットが第1のパスでスキャンされない、

非一時的コンピュータ可読媒体。

69 .

一組の命令を格納する非一時的コンピュータ可読媒体であって、一組の命令が、ビデオデータを復号するための方法を装置に開始させるように、装置の1つ又は複数のプロセッサによって実行可能であり、本方法が、

ビデオフレームのサブブロックの変換係数をスキャンする第1のパスを実行することと、

サブブロックの変換係数をスキャンする第2のパスを実行することとを含み、

スキャンする第1のパスを実行することが、コンテキスト符号化されたピンの数が最大限度に到達すると停止され、

サブブロックの変換係数の第1のセットが第1のパスでスキャンされ、

スキャンする第1のパスが、変換係数の第1のセットのそれぞれについて、変換係数のレベルがゼロであるか否かを示す有意フラグを復号することを含み、

スキャンする第2のパスが、変換係数の第2のセットのそれぞれのレベルの2値化された絶対値を復号することを含み、変換係数の第2のセットが第1のパスでスキャンされない、

非一時的コンピュータ可読媒体。

70 .

一組の命令を格納する非一時的コンピュータ可読媒体であって、一組の命令が、ビデオデータを符号化するための方法を装置に開始させるように、装置の1つ又は複数のプロセッサによって実行可能であり、本方法が、

ビデオフレームのルーマ成分のコンテキスト変数の第1のセットを生成することと、

ビデオフレームのクロマ成分のコンテキスト変数の第2のセットを生成することと、

ビデオフレームのサブブロックを生成することと、

コンテキスト変数の第1のセットとコンテキスト変数の第2のセットとにしたがってサブブロックの変換係数の第1のセットを符号化することと

を含む、非一時的コンピュータ可読媒体。

71 .

一組の命令を格納する非一時的コンピュータ可読媒体であって、一組の命令が、ビデオデータを復号するための方法を装置に開始させるように、装置の1つ又は複数のプロセッサによって実行可能であり、本方法が、

ビデオフレームを受信することと、

ビデオフレームを複数のサブブロックに分割することと、

ビデオフレームのルーマ成分のコンテキスト変数の第1のセットを生成することと、

ビデオフレームのクロマ成分のコンテキスト変数の第2のセットを生成することと、

コンテキスト変数の第1のセットとコンテキスト変数の第2のセットとにしたがってサブブロックの変換係数の第1のセットを復号することと

を含む、非一時的コンピュータ可読媒体。

【0117】

10

20

30

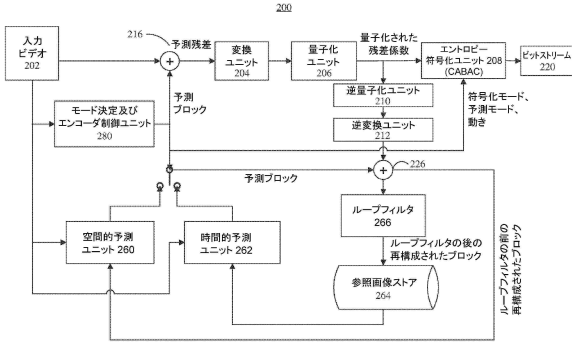
40

50

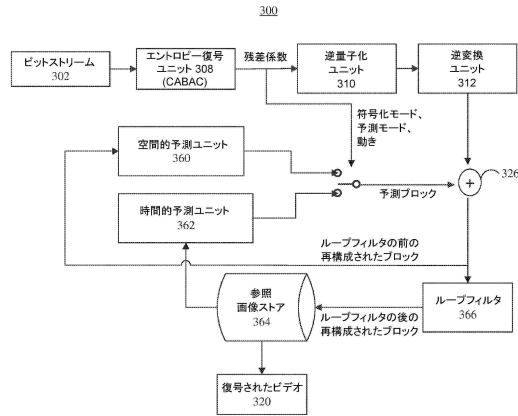
[00135] 図面及び明細書において、例示的な実施形態を開示してきた。しかしながら、これらの実施形態には多くの変形及び修正を加えることができる。したがって、特定の用語が使用されているが、それらは一般的且つ説明的な意味でのみ使用されており、限定の目的では使用されていない。

【図面】

【図 1】



【図 2】



【図 3 - 1】

residual_coding( x0, y0, log2TbWidth, log2TbHeight, cldx ) {	Descriptor
if( ( tu_mts_idx[ x0 ][ y0 ] > 0 )	
( cu_sbt_flag && log2TbWidth < 6 && log2TbHeight < 6 )	
&& cldx == 0 && log2TbWidth > 4 )	
log2ZoTbWidth = 4	
else	
log2ZoTbWidth = Min( log2TbWidth, 5 )	
MaxCbs = 2 * ( 1 << log2TbWidth ) * ( 1 << log2TbHeight )	
if( tu_mts_idx[ x0 ][ y0 ] > 0 )	
( cu_sbt_flag && log2TbWidth < 6 && log2TbHeight < 6 )	
&& cldx == 0 && log2TbHeight > 4 )	
log2ZoTbHeight = 4	
else	
log2ZoTbHeight = Min( log2TbHeight, 5 )	
if( log2TbWidth > 0 )	
last_sig_coeff_x_prefix	ae(v)
if( log2TbHeight > 0 )	
last_sig_coeff_y_prefix	ae(v)
if( last_sig_coeff_x_prefix > 3 )	
last_sig_coeff_x_suffix	ae(v)
if( last_sig_coeff_y_prefix > 3 )	
last_sig_coeff_y_suffix	ae(v)
log2TbWidth = log2ZoTbWidth	
log2TbHeight = log2ZoTbHeight	
log2SbW = ( Min( log2TbWidth, log2TbHeight ) < 2 ? 1 : 2 )	
log2SbH = log2SbW	
if( log2TbWidth + log2TbHeight > 3 ) {	
if( log2TbWidth < 2 ) {	
log2SbW = log2TbWidth	
log2SbH = 4 - log2SbW	
} else if( log2TbHeight < 2 ) {	
log2SbH = log2TbHeight	
log2SbW = 4 - log2SbH	
}	
numSbCoeff = 1 << ( log2SbW + log2SbH )	
lastScanPos = numSbCoeff	
lastSubBlock = ( 1 << ( log2TbWidth + log2TbHeight - ( log2SbW + log2SbH ) ) ) - 1	
do {	

FIG. 3

【図 3 - 2】

if( lastScanPos == 0 ) {	
lastScanPos = numSbCoeff	
lastSubBlock = -	
}	
lastScanPos = -	
xS = DiagScanOrder[ log2TbWidth - log2SbW ][ log2TbHeight - log2SbH ]	
[ lastSubBlock ][ 0 ]	
yS = DiagScanOrder[ log2TbWidth - log2SbW ][ log2TbHeight - log2SbH ]	
[ lastSubBlock ][ 1 ]	
xC = ( xS << log2SbW ) + DiagScanOrder[ log2SbW ][ log2SbH ][ lastScanPos ][ 0 ]	
yC = ( yS << log2SbH ) + DiagScanOrder[ log2SbW ][ log2SbH ][ lastScanPos ][ 1 ]	
} while( ( xC != LastSignificantCoeffX )    ( yC != LastSignificantCoeffY ) )	
QState = 0	
for( i = lastSubBlock; i >= 0; i-- ) {	
startQStateSb = QState	
xS = DiagScanOrder[ log2TbWidth - log2SbW ][ log2TbHeight - log2SbH ]	
[ i ][ 0 ]	
yS = DiagScanOrder[ log2TbWidth - log2SbW ][ log2TbHeight - log2SbH ]	
[ i ][ 1 ]	
inferSbDcSigCoeffFlag = 0	
if( ( i < lastSubBlock ) && ( i > 0 ) ) {	
coded_sub_block_flag[ xS ][ yS ]	ae(v)
inferSbDcSigCoeffFlag = 1	
}	
firstSigScanPosSb = numSbCoeff	
lastSigScanPosSb = -1	
remBinsPass1 = ( ( log2SbW + log2SbH ) < 4 ? 8 : 32 )	
firstPosMode0 = ( i == lastSubBlock ? lastScanPos : numSbCoeff - 1 )	
firstPosMode1 = -1	
for( n = firstPosMode0; n >= 0 && remBinsPass1 >= 4; n-- ) {	
xC = ( xS << log2SbW ) + DiagScanOrder[ log2SbW ][ log2SbH ][ n ][ 0 ]	
yC = ( yS << log2SbH ) + DiagScanOrder[ log2SbW ][ log2SbH ][ n ][ 1 ]	
if( coded_sub_block_flag[ xS ][ yS ] && ( n > 0    inferSbDcSigCoeffFlag ) &&	
( xC != LastSignificantCoeffX    yC != LastSignificantCoeffY ) ) {	
sig_coeff_flag[ xC ][ yC ]	ae(v)
remBinsPass1 = -	
if( sig_coeff_flag[ xC ][ yC ] )	
if( !transform_skip_flag[ x0 ][ y0 ] ) {	
numSigCoeff++	

FIG. 3 (continued)

10

20

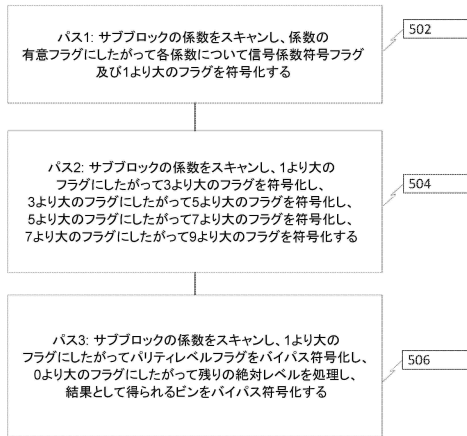
30

40

50



【 図 5 】



【 図 6 - 1 】

	Descriptor
residual_rs_coding( x0, y0, log2TbWidth, log2TbHeight, cldx ) {	
log2SbSize = ( Min( log2TbWidth, log2TbHeight ) < 2 ? 1 : 2 )	
numSbCoeff = 1 << ( log2SbSize << 1 )	
lastSubBlock = ( 1 << ( log2TbWidth + log2TbHeight - 2 * log2SbSize ) ) - 1	
inferSbCbf = 1	
MaxCtbs = 2 * ( 1 << log2TbWidth ) * ( 1 << log2TbHeight )	
for( j=0; j <= lastSubBlock; j++ ) {	
xS = DiagScanOrder[ log2TbWidth - log2SbSize ][ log2TbHeight - log2SbSize ][ j ][ 0 ]	
yS = DiagScanOrder[ log2TbWidth - log2SbSize ][ log2TbHeight - log2SbSize ][ j ][ 1 ]	
if( ( j != lastSubBlock    !inferSbCbf ) ) {	
<b>coded_sub_block_flag[ xS ][ yS ]</b>	ae(v)
MaxCtbs--	
}	
if( coded_sub_block_flag[ xS ][ yS ] && i < lastSubBlock )	
inferSbCbf = 0	
/* First scan pass */	
inferSbSigCoeffFlag = 1	
for( n=0; n <= numSbCoeff - 1; n++ ) {	
xC = ( xS << log2SbSize ) + DiagScanOrder[ log2SbSize ][ log2SbSize ][ n ][ 0 ]	
yC = ( yS << log2SbSize ) + DiagScanOrder[ log2SbSize ][ log2SbSize ][ n ][ 1 ]	
if( coded_sub_block_flag[ xS ][ yS ] && ( n != numSbCoeff - 1    !inferSbSigCoeffFlag ) ) {	
<b>sig_coeff_flag[ xC ][ yC ]</b>	ae(v)
MaxCtbs--	
if( sig_coeff_flag[ xC ][ yC ] )	
inferSbSigCoeffFlag = 0	
}	
if( sig_coeff_flag[ xC ][ yC ] ) {	
<b>coeff_sign_flag[ n ]</b>	ae(v)
MaxCtbs--	
<b>abs_level_gtx_flag[ n ][ 0 ]</b>	ae(v)
MaxCtbs--	
}	
AbsLevelPassX[ xC ][ yC ] =	
sig_coeff_flag[ xC ][ yC ] + abs_level_gtx_flag[ n ][ 0 ]	
}	
/* Greater than X scan passes (numGtXFlags=5) */	
for( n=0; n <= numSbCoeff - 1; n++ ) {	

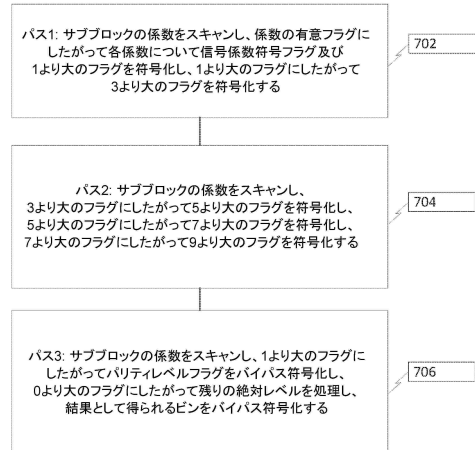
FIG. 6

【 図 6 - 2 】

xC = ( xS << log2SbSize ) + DiagScanOrder[ log2SbSize ][ log2SbSize ][ n ][ 0 ]	
yC = ( yS << log2SbSize ) + DiagScanOrder[ log2SbSize ][ log2SbSize ][ n ][ 1 ]	
for( j = 1; j < 5; j++ ) {	
if( abs_level_gtx_flag[ n ][ j - 1 ] )	
<b>abs_level_gtx_flag[ n ][ j ]</b>	ae(v)
MaxCtbs--	
AbsLevelPassX[ xC ][ yC ] + 2 * abs_level_gtx_flag[ n ][ j ]	
}	
/* remainder scan pass */	
for( n=0; n <= numSbCoeff - 1; n++ ) {	
xC = ( xS << log2SbSize ) + DiagScanOrder[ log2SbSize ][ log2SbSize ][ n ][ 0 ]	
yC = ( yS << log2SbSize ) + DiagScanOrder[ log2SbSize ][ log2SbSize ][ n ][ 1 ]	
if( abs_level_gtx_flag[ n ][ 0 ] )	
<b>par_level_flag[ n ]</b>	ae(v)
if( abs_level_gtx_flag[ n ][ 4 ] )	
<b>abs_remainder[ n ]</b>	ae(v)
TransCoeffLevel[ x0 ][ y0 ][ cldx ][ xC ][ yC ] = ( 1 - 2 * coeff_sign_flag[ n ] ) * ( AbsLevelPassX[ xC ][ yC ] + par_level_flag[ n ] + abs_remainder[ n ] )	
}	
}	
}	

FIG. 6 (continued)

【 図 7 】



10

20

30

40

50

【 8 - 1 】

residual_ts_coding( x0, y0, log2TbWidth, log2TbHeight, cIdx ) {	Descriptor
log2SbSize = ( Min( log2TbWidth, log2TbHeight ) < 2 ? 1 : 2 )	
numSbCoeff = 1 << ( log2SbSize << 1 )	
lastSubBlock = ( 1 << ( log2TbWidth + log2TbHeight - 2 * log2SbSize ) ) - 1	
inferSbCbf = 1	
MaxCcbcs = 2 * ( 1 << log2TbWidth ) * ( 1 << log2TbHeight )	
for( i = 0; i <= lastSubBlock; i++ ) {	
xS = DiagScanOrder[ log2TbWidth - log2SbSize ][ log2TbHeight - log2SbSize ][ i ][ 0 ]	
yS = DiagScanOrder[ log2TbWidth - log2SbSize ][ log2TbHeight - log2SbSize ][ i ][ 1 ]	
if( ( i != lastSubBlock    !inferSbCbf ) {	
coded_sub_block_flag[ xS ][ yS ]	ae(v)
MaxCcbcs--	
}	
if( coded_sub_block_flag[ xS ][ yS ] && i < lastSubBlock )	
inferSbCbf = 0	
/* First scan pass */	
inferSbSigCoeffFlag = 1	
for( n = 0; n <= numSbCoeff - 1; n++ ) {	
xC = ( xS << log2SbSize ) + DiagScanOrder[ log2SbSize ][ log2SbSize ][ n ][ 0 ]	
yC = ( yS << log2SbSize ) + DiagScanOrder[ log2SbSize ][ log2SbSize ][ n ][ 1 ]	
if( coded_sub_block_flag[ xS ][ yS ] && ( n != numSbCoeff - 1    !inferSbSigCoeffFlag ) ) {	
sig_coeff_flag[ xC ][ yC ]	ae(v)
MaxCcbcs--	
if( sig_coeff_flag[ xC ][ yC ] )	
inferSbSigCoeffFlag = 0	
}	
if( sig_coeff_flag[ xC ][ yC ] {	
coeff_sign_flag[ n ]	ae(v)
MaxCcbcs--	
abs_level_gtx_flag[ n ][ 0 ]	ae(v)
MaxCcbcs--	
if( abs_level_gtx_flag[ n ][ 0 ] )	
abs_level_gtx_flag[ n ][ 1 ]	ae(v)
MaxCcbcs--	
}	
}	

FIG. 8

【 8 - 2 】

AbsLevelPassX[ xC ][ yC ] =		
sig_coeff_flag[ xC ][ yC ] + abs_level_gtx_flag[ n ][ 0 ] + 2 *		
abs_level_gtx_flag[ n ][ 1 ]		
}		
/* Greater than X scan passes (numGrXFlags=5) */		
for( n = 0; n <= numSbCoeff - 1; n++ ) {		
xC = ( xS << log2SbSize ) + DiagScanOrder[ log2SbSize ][ log2SbSize ][ n ][ 0 ]		
yC = ( yS << log2SbSize ) + DiagScanOrder[ log2SbSize ][ log2SbSize ][ n ][ 1 ]		
for( j = 2; j < 5; j++ ) {		
if( abs_level_gtx_flag[ n ][ j - 1 ] )		
abs_level_gtx_flag[ n ][ j ]	ae(v)	
MaxCcbcs--		
AbsLevelPassX[ xC ][ yC ] += 2 * abs_level_gtx_flag[ n ][ j ]		
}		
}		
/* remainder scan pass */		
for( n = 0; n <= numSbCoeff - 1; n++ ) {		
xC = ( xS << log2SbSize ) + DiagScanOrder[ log2SbSize ][ log2SbSize ][ n ][ 0 ]		
yC = ( yS << log2SbSize ) + DiagScanOrder[ log2SbSize ][ log2SbSize ][ n ][ 1 ]		
if( abs_level_gtx_flag[ n ][ 0 ] )		
par_level_flag[ n ]	ae(v)	
if( abs_level_gtx_flag[ n ][ 4 ] )		
abs_remainder[ n ]	ae(v)	
TransCoeffLevel[ x0 ][ y0 ][ cIdx ][ xC ][ yC ] = ( 1 - 2 * coeff_sign_flag[ n ] ) * ( AbsLevelPassX[ xC ][ yC ] + par_level_flag[ n ] + abs_remainder[ n ] )		
}		
}		
}		

FIG. 8 (continued)

【 9 】

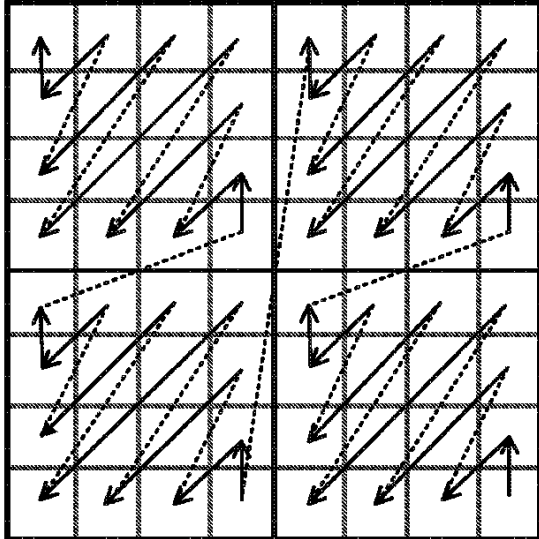


FIG. 9

【 1 0 A 】

0	1	2	3	4	5	6	7
8	9	10	11	12	13	14	15
16	17	18	19	20	21	22	23
24	25	26	27	28	29	30	31
32	33	34	35	36	37	38	39
40	41	42	43	44	45	46	47
48	49	50	51	52	53	54	55
56	57	58	59	60	61	62	63

FIG. 10A

10

20

30

40

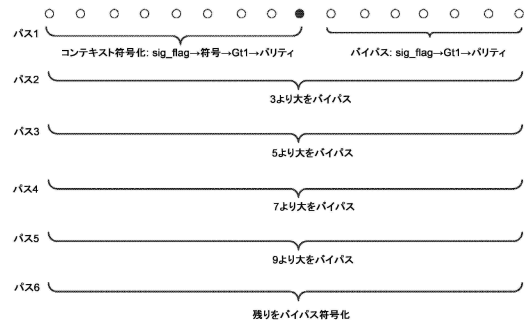
50

【図 10 B】

63	62	61	60	59	58	57	56
55	54	53	52	51	50	49	48
47	46	45	44	43	42	41	40
39	38	37	36	35	34	33	32
31	30	29	28	27	26	25	24
23	22	21	20	19	18	17	16
15	14	13	12	11	10	9	8
7	6	5	4	3	2	1	0

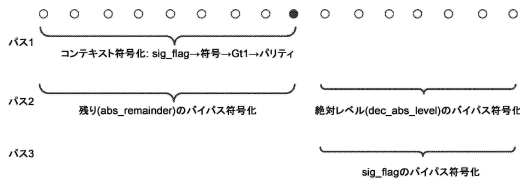
FIG. 10B

【図 1 1】



10

【図 1 2】



【図 1 3】

locSumAbs	0	1	2	3	4	5	6	7	8	9	10	11	12	13	14	15
cRiceParam	0	0	0	0	0	0	0	0	0	0	0	0	1	1	1	1
locSumAbs	16	17	18	19	20	21	22	23	24	25	26	27	28	29	30	31
cRiceParam	1	1	1	1	1	1	1	1	1	2	2	2	2	2	2	2

FIG. 13

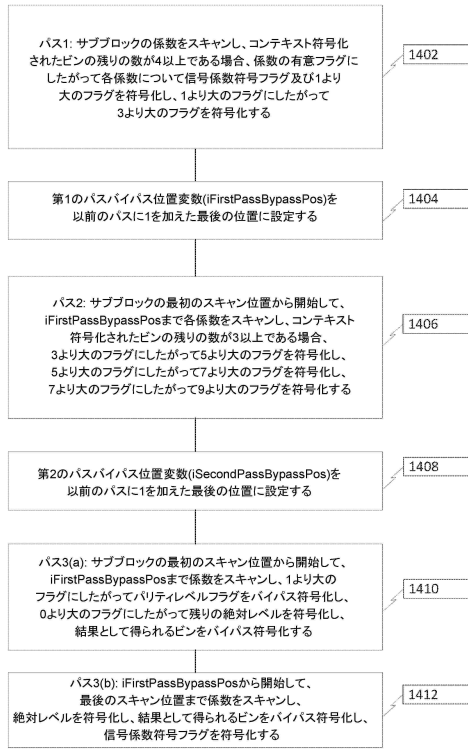
20

30

40

50

【 図 1 4 】



【 図 1 5 - 1 】

Code	Descriptor
<code>residual_rs_coding( x0, y0, log2TbWidth, log2TbHeight, cidx ) {</code>	
<code>  log2SbSize = ( Min( log2TbWidth, log2TbHeight ) &lt; 2 ? 1 : 2 )</code>	
<code>  numSbCoeff = 1 &lt;&lt; ( log2SbSize &lt;&lt; 1 )</code>	
<code>  lastSubBlock = ( 1 &lt;&lt; ( log2TbWidth + log2TbHeight - 2 * log2SbSize ) ) - 1</code>	
<code>  inferSbCbf = 1</code>	
<code>  MaxCebts = 2 * ( 1 &lt;&lt; log2TbWidth ) * ( 1 &lt;&lt; log2TbHeight )</code>	
<code>  for( i = 0; i &lt;= lastSubBlock; i++ ) {</code>	
<code>    xS = DiagScanOrder[ log2TbWidth - log2SbSize ][ log2TbHeight - log2SbSize ][ i ][ 0 ]</code>	
<code>    yS = DiagScanOrder[ log2TbWidth - log2SbSize ][ log2TbHeight - log2SbSize ][ i ][ 1 ]</code>	
<code>    if( ( i != lastSubBlock    !inferSbCbf ) {</code>	
<code>      <b>coded_sub_block_flag</b> xS ][ yS ]</code>	ae(v)
<code>      MaxCebts--</code>	
<code>    }</code>	
<code>    if( coded_sub_block_flag[ xS ][ yS ] &amp;&amp; i &lt; lastSubBlock )</code>	
<code>      inferSbCbf = 0</code>	
<code>    /* First scan pass */</code>	
<code>    inferSbSigCoeffFlag = 1</code>	
<code>    for( n = 0; n &lt;= numSbCoeff - 1 &amp;&amp; MaxCebts &gt;= 4; n++ ) {</code>	
<code>      xC = ( xS &lt;&lt; log2SbSize ) + DiagScanOrder[ log2SbSize ][ log2SbSize ][ n ][ 0 ]</code>	
<code>      yC = ( yS &lt;&lt; log2SbSize ) + DiagScanOrder[ log2SbSize ][ log2SbSize ][ n ][ 1 ]</code>	
<code>      if( coded_sub_block_flag[ xS ][ yS ] &amp;&amp;</code>	
<code>        ( n != numSbCoeff - 1    !inferSbSigCoeffFlag ) {</code>	
<code>        <b>sig_coeff_flag</b> xC ][ yC ]</code>	ae(v)
<code>        MaxCebts--</code>	
<code>        if( sig_coeff_flag[ xC ][ yC ] )</code>	
<code>          inferSbSigCoeffFlag = 0</code>	
<code>      }</code>	
<code>      if( sig_coeff_flag[ xC ][ yC ] {</code>	
<code>        <b>coeff_sign_flag</b> n ]</code>	ae(v)
<code>        MaxCebts--</code>	
<code>        <b>abs_level_gtx_flag</b> n ][ 0 ]</code>	ae(v)
<code>        MaxCebts--</code>	
<code>        if( <b>abs_level_gtx_flag</b> n ][ 0 ] )</code>	
<code>          <b>abs_level_gtx_flag</b> n ][ 1 ]</code>	ae(v)
<code>        MaxCebts--</code>	
<code>      }</code>	
<code>    }</code>	
<code>  }</code>	

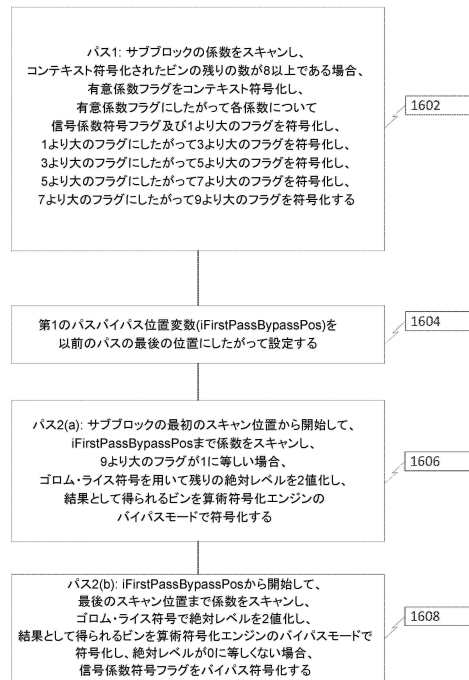
FIG. 15

【 図 1 5 - 2 】

<code>  AbsLevelPassX[ xC ][ yC ] =</code>	
<code>  sig_coeff_flag[ xC ][ yC ] + <b>abs_level_gtx_flag</b> n ][ 0 ] + 2 *</code>	
<code>  <b>abs_level_gtx_flag</b> n ][ 1 ]</code>	
<code>  }</code>	
<code>  ifFirstPassBypassPos = n;</code>	
<code>  /* second scan pass */</code>	
<code>  for( n = 0; n &lt; ifFirstPassBypassPos &amp;&amp; MaxCebts &gt;= 3; n++ ) {</code>	
<code>    xC = ( xS &lt;&lt; log2SbSize ) + DiagScanOrder[ log2SbSize ][ log2SbSize ][ n ][ 0 ]</code>	
<code>    yC = ( yS &lt;&lt; log2SbSize ) + DiagScanOrder[ log2SbSize ][ log2SbSize ][ n ][ 1 ]</code>	
<code>    for( j = 2; j &lt; 5; j++ ) {</code>	
<code>      if( <b>abs_level_gtx_flag</b> n ][ j - 1 ] )</code>	
<code>        <b>abs_level_gtx_flag</b> n ][ j ]</code>	ae(v)
<code>      MaxCebts--</code>	
<code>    }</code>	
<code>    AbsLevelPassX[ xC ][ yC ] + 2 * <b>abs_level_gtx_flag</b> n ][ j ]</code>	
<code>  }</code>	
<code>  }</code>	
<code>  iSecondPassBypassPos = n;</code>	
<code>  /* remainder scan pass */</code>	
<code>  for( n = 0; n &lt; ifFirstPassBypassPos; n++ ) {</code>	
<code>    xC = ( xS &lt;&lt; log2SbSize ) + DiagScanOrder[ log2SbSize ][ log2SbSize ][ n ][ 0 ]</code>	
<code>    yC = ( yS &lt;&lt; log2SbSize ) + DiagScanOrder[ log2SbSize ][ log2SbSize ][ n ][ 1 ]</code>	
<code>    minLevel = ( scanPos &gt;= iSecondPassBypassPos ? 4 : 10);</code>	
<code>    if( <b>abs_level_gtx_flag</b> n ][ 0 ] )</code>	
<code>      <b>par_level_flag</b> n ]</code>	ae(v)
<code>      if( <b>abs_level_gtx_flag</b> n ][ 4 ] )</code>	
<code>        <b>abs_remainder</b> n ]</code>	ae(v)
<code>      TransCoeffLevel[ x0 ][ y0 ][ cidx ][ xC ][ yC ] = ( 1 - 2 * <b>coeff_sign_flag</b> n ) *</code>	
<code>      ( AbsLevelPassX[ xC ][ yC ] + <b>par_level_flag</b> n ] +</code>	
<code>      <b>abs_remainder</b> n ] )</code>	
<code>    }</code>	
<code>    /* dec_abs_level scan pass */</code>	
<code>    for( n = ifFirstPassBypassPos; n &lt;= numSbCoeff - 1; n++ ) {</code>	
<code>      xC = ( xS &lt;&lt; log2SbSize ) + DiagScanOrder[ log2SbSize ][ log2SbSize ][ n ][ 0 ]</code>	
<code>      yC = ( yS &lt;&lt; log2SbSize ) + DiagScanOrder[ log2SbSize ][ log2SbSize ][ n ][ 1 ]</code>	
<code>      <b>dec_abs_level</b> n ]</code>	ae(v)
<code>      if( sig_coeff_flag[ xC ][ yC ]</code>	
<code>        <b>coeff_sign_flag</b> n ]</code>	ae(v)
<code>      TransCoeffLevel[ x0 ][ y0 ][ cidx ][ xC ][ yC ] = ( 1 - 2 * <b>coeff_sign_flag</b> n ) *</code>	
<code>      <b>dec_abs_level</b> n ]</code>	
<code>    }</code>	
<code>  }</code>	

FIG. 15 (continued)

【 図 1 6 】



10

20

30

40

50

【 17 - 1 】

residual_ts_coding( x0, y0, log2TbWidth, log2TbHeight, cldx ) {	Descriptor
log2SbSize = ( Min( log2TbWidth, log2TbHeight ) < 2 ? 1 : 2 )	
numSbCoeff = 1 << ( log2SbSize << 1 )	
lastSubBlock = ( 1 << ( log2TbWidth + log2TbHeight - 2 * log2SbSize ) ) - 1	
inferSbCbf = 1	
MaxCbs = 2 * ( 1 << log2TbWidth ) * ( 1 << log2TbHeight )	
for( i = 0; i <= lastSubBlock; i++ ) {	
xS = DiagScanOrder[ log2TbWidth - log2SbSize ][ log2TbHeight - log2SbSize ][ i ][ 0 ]	
yS = DiagScanOrder[ log2TbWidth - log2SbSize ][ log2TbHeight - log2SbSize ][ i ][ 1 ]	
if( ( 1 != lastSubBlock    !inferSbCbf ) ) {	
<b>coded_sub_block_flag</b> [ xS ][ yS ]	ae(v)
}	
if coded_sub_block_flag[ xS ][ yS ] && i < lastSubBlock	
inferSbCbf = 0	
/* First scan pass */	
inferSbSigCoeffFlag = 1	
for( n = 0; n <= numSbCoeff - 1 && MaxCbs >= 8; n++ ) {	
xC = ( xS << log2SbSize ) + DiagScanOrder[ log2SbSize ][ log2SbSize ][ n ][ 0 ]	
yC = ( yS << log2SbSize ) + DiagScanOrder[ log2SbSize ][ log2SbSize ][ n ][ 1 ]	
if coded_sub_block_flag[ xS ][ yS ] &&	
( n != numSbCoeff - 1    !inferSbSigCoeffFlag ) {	
<b>sig_coeff_flag</b> [ xC ][ yC ]	ae(v)
} else {	
MaxCbs--	
if sig_coeff_flag[ xC ][ yC ]	
inferSbSigCoeffFlag = 0	
}	
CoeffSignLevel[ xC ][ yC ] = 0	
if sig_coeff_flag[ xC ][ yC ] {	
<b>coeff_sign_flag</b> [ n ]	ae(v)
} else {	
MaxCbs--	
CoeffSignLevel[ xC ][ yC ] = ( coeff_sign_flag[ n ] > 0 ? -1 : 1 )	
<b>abs_level_gtx_flag</b> [ n ][ 0 ]	ae(v)
} else {	
MaxCbs--	
if abs_level_gtx_flag[ n ][ 0 ] {	
<b>par_level_flag</b> [ n ]	ae(v)
} else {	
MaxCbs--	
}	
AbsLevelPassX[ xC ][ yC ] =	
sig_coeff_flag[ xC ][ yC ] + par_level_flag[ n ] + abs_level_gtx_flag[ n ][ 0 ]	

FIG. 17

【 17 - 2 】

}	
/* Greater than X scan pass ( numGrxFlg == 5 ) */	
for( n = 0; n <= numSbCoeff - 1; n++ ) {	
xC = ( xS << log2SbSize ) + DiagScanOrder[ log2SbSize ][ log2SbSize ][ n ][ 0 ]	
yC = ( yS << log2SbSize ) + DiagScanOrder[ log2SbSize ][ log2SbSize ][ n ][ 1 ]	
for( j = 1; j < 5; j++ ) {	
if abs_level_gtx_flag[ n ][ j - 1 ] {	
<b>abs_level_gtx_flag</b> [ n ][ j ]	ae(v)
} else {	
MaxCbs--	
AbsLevelPassX[ xC ][ yC ] + = 2 * abs_level_gtx_flag[ n ][ j ]	
}	
}	
if FirstPassBypassPos = n;	
/* remainder scan pass */	
for( n = 0; n <= numSbCoeff - 1; n++ ) {	
xC = ( xS << log2SbSize ) + DiagScanOrder[ log2SbSize ][ log2SbSize ][ n ][ 0 ]	
yC = ( yS << log2SbSize ) + DiagScanOrder[ log2SbSize ][ log2SbSize ][ n ][ 1 ]	
if abs_level_gtx_flag[ n ][ 4 ]	
<b>abs_remainder</b> [ n ]	ae(v)
} else {	
if intra_bdpcm_flag == 0 {	
absRightCoeff = abs( TransCoeffLevel[ x0 ][ y0 ][ cldx ][ xC - 1 ][ yC ] )	
absBelowCoeff = abs( TransCoeffLevel[ x0 ][ y0 ][ cldx ][ xC ][ yC - 1 ] )	
predCoeff = Max( absRightCoeff, absBelowCoeff )	
if( AbsLevelPassX[ xC ][ yC ] + abs_remainder[ n ] == 1 && predCoeff > 0 )	
TransCoeffLevel[ x0 ][ y0 ][ cldx ][ xC ][ yC ] =	
( 1 - 2 * coeff_sign_flag[ n ] ) * predCoeff	
} else if( AbsLevelPassX[ xC ][ yC ] + abs_remainder[ n ] <= predCoeff )	
TransCoeffLevel[ x0 ][ y0 ][ cldx ][ xC ][ yC ] = ( 1 - 2 * coeff_sign_flag[ n ] ) *	
( AbsLevelPassX[ xC ][ yC ] + abs_remainder[ n ] - 1 )	
} else	
TransCoeffLevel[ x0 ][ y0 ][ cldx ][ xC ][ yC ] = ( 1 - 2 * coeff_sign_flag[ n ] ) *	
( AbsLevelPassX[ xC ][ yC ] + abs_remainder[ n ] )	
} else	
TransCoeffLevel[ x0 ][ y0 ][ cldx ][ xC ][ yC ] = ( 1 - 2 * coeff_sign_flag[ n ] ) *	
( AbsLevelPassX[ xC ][ yC ] + abs_remainder[ n ] )	
}	
}	
/* dec_abs_level scan pass */	
for( n = iFirstPassBypassPos; n <= numSbCoeff - 1; n++ ) {	
xC = ( xS << log2SbSize ) + DiagScanOrder[ log2SbSize ][ log2SbSize ][ n ][ 0 ]	
yC = ( yS << log2SbSize ) + DiagScanOrder[ log2SbSize ][ log2SbSize ][ n ][ 1 ]	

FIG. 17 (continued)

10

20

【 17 - 3 】

<b>dec_abs_level</b> [ n ]	ae(v)
if( dec_abs_level[ n ] )	
<b>coeff_sign_flag</b> [ n ]	ae(v)
} else {	
if intra_bdpcm_flag == 0 {	
absRightCoeff = abs( TransCoeffLevel[ x0 ][ y0 ][ cldx ][ xC - 1 ][ yC ] )	
absBelowCoeff = abs( TransCoeffLevel[ x0 ][ y0 ][ cldx ][ xC ][ yC - 1 ] )	
predCoeff = Max( absRightCoeff, absBelowCoeff )	
if( AbsLevelPassX[ xC ][ yC ] + abs_remainder[ n ] == 1 && predCoeff > 0 )	
TransCoeffLevel[ x0 ][ y0 ][ cldx ][ xC ][ yC ] =	
( 1 - 2 * coeff_sign_flag[ n ] ) * predCoeff	
} else if( AbsLevelPassX[ xC ][ yC ] + abs_remainder[ n ] <= predCoeff )	
TransCoeffLevel[ x0 ][ y0 ][ cldx ][ xC ][ yC ] = ( 1 - 2 * coeff_sign_flag[ n ] ) *	
( AbsLevelPassX[ xC ][ yC ] + abs_remainder[ n ] - 1 )	
} else	
TransCoeffLevel[ x0 ][ y0 ][ cldx ][ xC ][ yC ] = ( 1 - 2 * coeff_sign_flag[ n ] ) *	
( AbsLevelPassX[ xC ][ yC ] + abs_remainder[ n ] )	
} else	
TransCoeffLevel[ x0 ][ y0 ][ cldx ][ xC ][ yC ] = ( 1 - 2 * coeff_sign_flag[ n ] ) *	
( AbsLevelPassX[ xC ][ yC ] + abs_remainder[ n ] )	
}	
}	
}	

FIG. 17 (continued)

【 18 】

<b>locSumAbs</b>	0	1	2	3	4	5	6	7	8	9	10	11	12	13	14	15
cRiceParam	0	0	0	0	0	0	0	1	1	1	1	1	1	1	2	2
<b>locSumAbs</b>	16	17	18	19	20	21	22	23	24	25	26	27	28	29	30	31
cRiceParam	2	2	2	2	2	2	2	2	2	2	2	2	3	3	3	3

FIG. 18

30

40

50

## フロントページの続き

(33)優先権主張国・地域又は機関

米国(US)

(31)優先権主張番号 62/902,115

(32)優先日 令和1年9月18日(2019.9.18)

(33)優先権主張国・地域又は機関

米国(US)

(72)発明者 サーヴァー, モハメッド, ジー .

アメリカ合衆国, カリフォルニア州 94402, サン マテオ, サウス エル カミーノ レアル  
400, スイート 400, アリババ グループ リーガル デパートメント

(72)発明者 イエ, ヤン

アメリカ合衆国, カリフォルニア州 94402, サン マテオ, サウス エル カミーノ レアル  
400, スイート 400, アリババ グループ リーガル デパートメント

(72)発明者 ルオ, ジャンコン

アメリカ合衆国, カリフォルニア州 94402, サン マテオ, サウス エル カミーノ レアル  
400, スイート 400, アリババ グループ リーガル デパートメント

審査官 久保 光宏

(56)参考文献

Jianle Chen, et al. , "Algorithm description for Versatile Video Coding and Test Model 5 (VT M 5)" , Document: JVET-N1002-v2, [online] , JVET-N1002 (version 2) , Joint Video Experts Team (JVET) of ITU-T SG 16 WP 3 and ISO/IEC JTC 1/SC 29/WG 11 , 2019年06月11日 , Pages 1,4,5,56-59,74 , [令和5年1月26日検索], インターネット, URL: [https://jvet-experts.org/doc\\_end\\_user/current\\_document.php?id=6641](https://jvet-experts.org/doc_end_user/current_document.php?id=6641) and URL: [https://jvet-experts.org/doc\\_end\\_user/documents/14\\_Geneva/wg11/JVET-N1002-v2.zip](https://jvet-experts.org/doc_end_user/documents/14_Geneva/wg11/JVET-N1002-v2.zip) . , (See document file "JVET-N1002-v2.docx" in the zip file "JVET-N1002-v2.zip".)

Yusuke Kato, et al. , "Non-CE7: Unification of syntaxes after CCB count exceeds the maximum number between transform residual and transform skip residual" , Document: JVET-O0406-v1, [online] , JVET-O0406 (version 1) , Joint Video Exploration Team (JVET) of ITU-T SG 16 WP 3 and ISO/IEC JTC 1/SC 29/WG 11 , 2019年06月25日 , Pages 1-8 , [令和7年3月11日検索], インターネット, URL: [https://jvet-experts.org/doc\\_end\\_user/current\\_document.php?id=7011](https://jvet-experts.org/doc_end_user/current_document.php?id=7011) and URL: [https://jvet-experts.org/doc\\_end\\_user/documents/15\\_Gothenburg/wg11/JVET-O0406-v1.zip](https://jvet-experts.org/doc_end_user/documents/15_Gothenburg/wg11/JVET-O0406-v1.zip) . , (See document file "JVET-O0406-v1.docx" in the zip file "JVET-O0406-v1.zip".)

Yusuke Kato, et al. , "CE7-related: Unification of CCB check method and bypass coding between two residual coding modes" , Document: JVET-P0298-v1, [online] , JVET-P0298 (version 2) , Joint Video Experts Team (JVET) of ITU-T SG 16 WP 3 and ISO/IEC JTC 1/SC 29/WG 11 , 2019年09月24日 , Pages 1-11 , [令和7年3月11日検索], インターネット, URL: [https://jvet-experts.org/doc\\_end\\_user/current\\_document.php?id=8087](https://jvet-experts.org/doc_end_user/current_document.php?id=8087) and URL: [https://jvet-experts.org/doc\\_end\\_user/documents/16\\_Geneva/wg11/JVET-P0298-v2.zip](https://jvet-experts.org/doc_end_user/documents/16_Geneva/wg11/JVET-P0298-v2.zip) . , (See document file "JVET-P0298-v1.docx" in the zip file "JVET-P0298-v2.zip".)

大久保 榮 監修, 「H.265/HEVC教科書」, 初版, 日本, 株式会社インプレスジャパン, 2013年10月21日, 第185 ~ 188頁, ISBN: 978-4-8443-3468-2.

(58)調査した分野 (Int.Cl. , D B 名)

H 0 4 N 1 9 / 0 0 - 1 9 / 9 8

C S D B ( 日本国特許庁 )

学術文献等データベース ( 日本国特許庁 )

I E E E X p l o r e ( I E E E )